

## 第9回共同利用期間(2002A)において実施された利用研究課題

財団法人高輝度光科学研究センター  
利用業務部

第9回共同利用期間(2002A)は、平成14年2月から平成14年7月にかけて実施されました。この期間に実施された共同利用研究課題は543件で、その内訳は次の通りです。

通常利用課題	464件
成果専有利用課題 (うち時期指定利用：12件)	17件
留保シフト課題 (内訳は、生命科学分科18件、及び産業利用分科38件)	56件
特定利用継続課題 (2000Bから開始3件、2001Aから開始1件、2001Bから開始1件)	5件
特定利用新規課題	1件

今期の共同利用では、R&Dビームライン3本を含む共用ビームライン25本、及び原研・理研ビームラインのうち5本を利用しました。この内、赤外物性ビームライン(BL43IR)が平成14年1月末に光学素子損傷により使用不能となり、2002A期の公募で採択された22件の課題がすべてキャンセルされました。その後、夏期運転休止時に修理が完了し、2002B期は使用可能となっています。高温構造物性ビームライン(BL04B1)は、SPEED-1500の修理のため後半の2サイクルの共同利用実験6件がキャンセルされました。また、平成14年6月にID22真空リークによるダウンがあり、134時間を越えるユーザータイムの使用ができなくなり、36件の共同利用実験がキャンセルされました。これらのキャンセルで予定通り課題を実施できなかったユーザーの皆様には、多大なご迷惑をおかけいたしましたことを改めてお詫びいたします。

特定利用制度は、一昨年度2000B期から開始した制度で、3年以内の長期にわたってSpring-8を計画的に利用する制度です。今期においては、前期からの継続5件に加えて、新たに1件が開始されました。特定利用のうち1課題が、3本のビームラインを利用しました。

今期において専用施設で実施された課題は114件でした。稼働しているビームラインは8本です。課題の内訳は、通常利用が112件で、成果専有利用が2件となっています。

今期の利用者数は、共同利用では3,246人、専用施設利用では1,043人でした。この数はいずれも延べの人数です。この結果、これまでの9回の共同利用で実施された総課題数は3,093件、総利用者数は19,400人となりました。専用施設利用を合わせた利用状況を表1及び図1に示します。

最後に、2002Aで実施された共同利用課題の一覧を表2に示します。

表1 共同利用及び専用施設利用の推移

利用期間	利用時間	共同利用 B L		専用 B L	
		利用課題数	利用者数	利用課題数	利用者数
第1回	H 9.10-H10. 3	1,286	94	681	-
第2回	H10. 4-H10.10	1,702	234	1,252	7
第3回	H10.11-H11. 6	2,585	274	1,542	33
第4回	H11. 9-H11.12	1,371	242	1,631	65
第5回	H12. 1-H12. 6	2,106	365	2,486	102
第6回	H12.10-H13. 1	1,558	382	2,370	88
第7回	H13. 2-H13. 6	2,381	473	2,915	103
第8回	H13. 9-H14. 2	1,893	486	3,277	118
第9回	H14. 2-H14. 7	2,093	543	3,246	114
合計		16,975	3,093	19,400	630

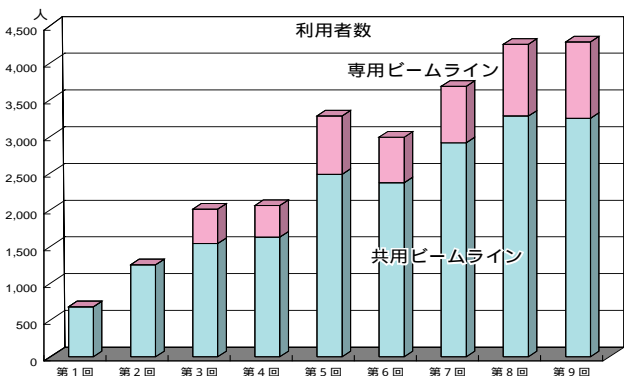
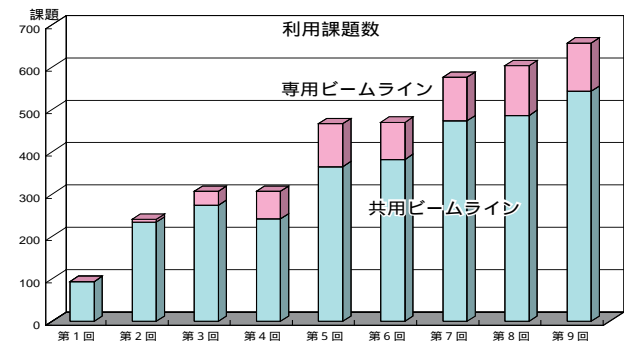


図1 利用課題数(上)及び利用者数(下)の推移

表2 第9回共同利用において実施された利用研究課題一覧

課題番号	課題名	実験責任者	所属	国名	B L	7/8数
2002A4019-LD-np	核共鳴非弾性散乱による元素およびサイトを特定した局所振動状態密度の研究およびその測定法の開発	瀬戸 誠	京都大学	日本	BL09XU	36
2002A4020-LD-np	超臨界金属流体の静的・動的構造の解明 (BL28B2)	田村 剛三郎	京都大学	日本	BL28B2	24
2002A4029-LM-np	硬X線マイクロビームを用いた顕微分光法の開発	早川 慎二郎	広島大学	日本	BL39XU	36
2002A4583-LD-np	超臨界金属流体の静的・動的構造の解明 (BL04B2)	田村 剛三郎	京都大学	日本	BL04B2	30
2002A4607-LD-np	超臨界金属流体の静的・動的構造の解明 (BL35XU)	田村 剛三郎	京都大学	日本	BL35XU	36
2002A3004-LD-np	高圧下における実験的精密構造物性研究手法の開発	高田 昌樹	名古屋大学	日本	BL10XU	42
2002A2009-LS-np	高分解能軟X線励起による高温超伝導物質および関連物質のバルク敏感角度分解光電子分光: 光電子分光による高温超伝導体バルク電子状態研究のブレークスルーを目指して	菅 滋正	大阪大学	日本	BL25SU	42
2002A0002-NS1-np	Modification of bulk electronic states near an atomically flat interface: one monolayer of hexagonal boron nitride on Ni(111)	Osterwalder Jurg	University of Zurich	Switzerland	BL25SU	12
2002A0003-NL1-np	Crystal Structure of Phospholipase A2 enzyme	Swaminathan Kunchithapadam	Institute of Molecular Agrobiology	Singapore	BL40B2	3
2002A0004-NX-np	超臨界条件下で調製したロジウムコロイドとパラジウムコロイドのEXAFSを用いた構造解析	原田 雅史	奈良女子大学	日本	BL01B1	6
2002A0008-LD3-np	高分解能 (磁気) コプトン散乱測定による巨大磁気抵抗物質の電子及び軌道状態の研究	小泉 昭久	姫路工業大学	日本	BL08W	36
2002A0009-ND1-np	マンガン酸化物の相分離と巨大磁気抵抗効果の研究	守友 浩	名古屋大学	日本	BL02B2	6
2002A0011-ND2-np	Fe <sub>3</sub> O <sub>4</sub> の金属絶縁体転移と構造物性 (圧力依存性)	守友 浩	名古屋大学	日本	BL10XU	6
2002A0012-ND1-np	[F(ptz) <sub>6</sub> ](BF <sub>4</sub> ) <sub>2</sub> の光誘起相転移と構造物性	守友 浩	名古屋大学	日本	BL02B2	9
2002A0013-CL1-np	Diffraction data collections of agglutinin, arginase and candida lipase I by using synchrotron radiation at low temperature	Lu Tian-Huey	Hua University	R. O. C.	BL40B2	3
2002A0014-NL1-np	膜蛋白質結晶中の脂質二重膜の可視化	豊島 近	東京大学	日本	BL40B2	9
2002A0015-NL1-np	筋小胞体カルシウムポンプの結晶構造解析	豊島 近	東京大学	日本	BL41XU	6
2002A0016-ND1-np	AgVO <sub>3</sub> の結晶構造と電気伝導性、-AgVO <sub>3</sub> の極微小結晶構造解析	橋高 茂治	岡山理科大学	日本	BL04B2	5
2002A0017-ND3-np	構造相転移点近傍におけるフォノンの非線形効果の研究	角田 頼彦	早稲田大学	日本	BL09XU	12
2002A0019-NL1-np	古細菌由来クラス システイニルtRNA合成酵素のX線結晶構造解析	濡木 理	東京大学	日本	BL41XU	1
2002A0020-NL1-np	古細菌においてGln-tRNA(Gln)を合成する新規タンパク質GatDEとtRNA(Gln)の複合体のX線結晶構造解析	濡木 理	東京大学	日本	BL41XU	3
2002A0021-NL1-np	古細菌由来ロイシルtRNA合成酵素とtRNA(Leu)の複合体のX線結晶構造解析	濡木 理	東京大学	日本	BL41XU	3
2002A0022-NL1-np	古細菌型クラスIリシルtRNA合成酵素(LysRS)の結晶構造解析	濡木 理	東京大学	日本	BL41XU	2
2002A0023-NL1-np	古細菌由来SpoUメチルトランスフェラーゼのX線結晶構造解析	濡木 理	東京大学	日本	BL41XU	1
2002A0024-NL1-np	ヒト上皮成長因子 (EGF) とEGFレセプターとの複合体のX線結晶構造解析	濡木 理	東京大学	日本	BL41XU	3
2002A0025-NL1-np	複製を負に制御するSeqAタンパク質とヘミメチル化DNAとの複合体のX線結晶構造解析	濡木 理	東京大学	日本	BL41XU	3
2002A0026-NL1-np	ヒト由来DNA相同組み換え蛋白質Rad52と単鎖DNAとの複合体のX線結晶構造解析	濡木 理	東京大学	日本	BL41XU	3
2002A0027-NL1-np	分裂酵母の染色体分配に働くAbp1タンパク質とDNAとの複合体のX線結晶構造解析	濡木 理	東京大学	日本	BL41XU	2
2002A0028-CL1-np	4回膜蛋白質CD81の細胞外ドメインと阻害剤との複合体のX線構造解析	北所 健悟	京都大学	日本	BL38B1	3
2002A0029-NS1-np	有機ケイ素分子の気相におけるSi:1sイオン化によって引き起こされるサイト選択的解離の研究	長岡 伸一	愛媛大学	日本	BL27SU	9
2002A0033-NM-np	気相分子のドブラーフリー共鳴オージェ電子分光を目指して	上田 潔	東北大学	日本	BL27SU	21
2002A0034-NS1-np	平面分子BCl <sub>3</sub> の超高分解能共鳴オージェ電子分光: 分子変形運動の直接観測	上田 潔	東北大学	日本	BL27SU	9
2002A0035-NS1-np	ナノ構造を光電子回折で見る: 空間に固定したアルゴンクラスターの角度分解光電子分光	上田 潔	東北大学	日本	BL27SU	9
2002A0036-NX-np	Study of Jahn-Teller Polarons in doped rare-earth manganites across the Colossal Magnetoresistance and Charge Ordering temperatures by XAFS	Sarode Prabhakar	Goa University	India	BL01B1	6
2002A0042-NL1-np	Collection of MAD dataset of Bacteriophage lambda CII Protein using Seleno-met derivative	Chakrabarti Pinakpani	Bose Institute	India	BL40B2	3
2002A0043-ND3-np	NEET Excitation of the 31-yr Isomer of Hf-178	Collins Carl	University of Texas at Dallas	USA	BL09XU	9
2002A0044-NX-np	The structure study of liquid GaSb, InSb with XAFS technique	Lu Kunquan	Institute of Physics, Chinese Academy of Sciences	China	BL01B1	24
2002A0046-ND3-np	The Study of Phonon Anomalies Near Tc in Ferromagnetic Materials with Large Magnetoresistance	野村 貴美	東京大学	日本	BL11XU	11
2002A0048-ND1-np	高性能高分子単繊維を用いた結晶弾性率の測定	西野 孝	神戸大学	日本	BL46XU	6
2002A0049-ND1-np	短波長X線を用いた張り合わせSi(100)ウエハー / 酸化物超薄膜 / Si(100)ウエハーの界面構造の決定	高橋 功	関西学院大学	日本	BL13XU	6
2002A0051-NS1-np	Bulk sensitive angle resolved photoemission studies of strongly correlated electron materials	Allen James	University of Michigan	USA	BL25SU	15
2002A0052-NL1-np	ERM蛋白質radixinと制御蛋白質の複合体(FERM-RhoGDI)による結晶構造解析	箱嶋 敏雄	奈良先端科学技術大学院大学	日本	BL41XU	3
2002A0056-NL2-np	高フラックスビームラインを用いたマイクロビーム小角回折実験技術の開発	八木 直人	(財)高輝度光科学研究センター	日本	BL40XU	12
2002A0057-NL2-np	骨格筋の急速筋長変化に伴う小角部分の強度変化の測定	八木 直人	(財)高輝度光科学研究センター	日本	BL40XU	24
2002A0058-NL1-np	FMN結合タンパク質変異体の高分解能立体構造解析によるFMN・アミノ酸相互作用と酸化還元電位との相関解明	柴田 直樹	姫路工業大学	日本	BL41XU	3
2002A0059-NM-np	ホログラフィック干渉法を用いた実時間イメージングによる強誘電体のドメイン観察法に関する基礎実験	米田 安宏	日本原子力研究所	日本	BL47XU	6
2002A0060-ND1-np	ヘキサプロモジフェニルジアゾメタン結晶中の光誘起反応中間体 (三重項カルベンとジアジリン) の放射光構造解析	鳥海 幸四郎	姫路工業大学	日本	BL02B1	15
2002A0063-NX-np	クラスターイオンビーム法で作製した高品位光学薄膜のXAFS法による構造解析	陸山 博之	産業技術総合研究所	日本	BL01B1	9
2002A0064-ND2-np	MgCO <sub>3</sub> の状態方程式と下部マントル条件下での鉄との反応	永井 隆哉	大阪大学	日本	BL10XU	6
2002A0065-ND2-np	SiO <sub>2</sub> -stishoviteの高温での状態方程式	永井 隆哉	大阪大学	日本	BL04B2	6

課題番号	課題名	実験責任者	所属	国名	BL	7/8数
2002A0066-NDL2-np	合成高分子の秩序構造形成過程追跡のための広角小角X線散乱高速時間分解測定	田代 孝二	大阪大学	日本	BL40XU	6
2002A0068-NS1-np	Kr2pイオン化領域での電子放出現象のしきい値効果	鈴木 功	産業技術総合研究所	日本	BL27SU	6
2002A0069-ND1-np	パイメタリックオキシゲナト錯塩を含む有機強磁性体の結晶構造解析	斎藤 軍治	京都大学	日本	BL02B2	6
2002A0071-NL2-np	紫膜の高分解能X線回折実験	岡 俊彦	（財）高輝度光科学研究センター	日本	BL40B2	12
2002A0072-NL2-np	バクテリオロドプシンのL-M遷移過程での時分割X線回折実験	岡 俊彦	（財）高輝度光科学研究センター	日本	BL40XU	18
2002A0073-ND2-np	高エネルギーX線回折を用いたK <sub>2</sub> O・4SiO <sub>2</sub> 融体とガラスの構造研究	梅咲 則正	（財）高輝度光科学研究センター	日本	BL04B2	9
2002A0074-CX-np	都市ゴミ焼却灰中の重金属の熱処理による化学状態変化の解析	露本 伊佐男	金沢工業大学	日本	BL38B1	6
2002A0075-NX-np	セメント中の微量重金属の化学結合状態の分析	露本 伊佐男	金沢工業大学	日本	BL38B1	6
2002A0076-NS2-np	中空Ca原子の生成とK殻ハイパーセライト線のエネルギー依存性	山岡 人志	理化学研究所	日本	BL47XU	9
2002A0078-NX-np	The correlations of atoms and atomic magnetic moments in the non-equilibrium nanocrystalline disordered systems Fe with sp-element (Al, Si, Sn)-BL01B1-	Voronina Elena	Institute UrD RAS	Russia	BL01B1	12
2002A0079-NL2-np	ラット脳における脳微小動脈瘤および新生血管発達過程の放射線学的解析	近藤 威	神戸大学	日本	BL20B2	12
2002A0082-NS1-np	局所逆帯磁率の温度依存性とバルク帯磁率の比較による磁性研究	宮原 恒昱	東京都立大学	日本	BL25SU	9
2002A0083-NL2-np	X線1分子計測法による蛋白質分子動的運動観察	佐々木 裕次	（財）高輝度光科学研究センター	日本	BL44B2	30
2002A0084-ND1-p	単結晶構造解析	中井 博	塩野義製薬(株)	日本	BL04B2	2
2002A0085-ND3-np	コンプトン散乱によるマグネシウム基金属水素化物の電子状態の研究	山本 勲	横浜国立大学	日本	BL08W	21
2002A0086-ND3-np	ニッケル水素化物の磁気コンプトン散乱研究	山口 益弘	横浜国立大学	日本	BL08W	12
2002A0087-NL1-np	腸内連鎖球菌ナトリウム輸送性ATPaseの構造解析	山登 一郎	東京理科大学	日本	BL40B2	6
2002A0088-NL1-np	天然コラーゲン繊維のX線回折	奥山 健二	東京農工大学	日本	BL40B2	1
2002A0089-NL1-np	コラーゲンモデルペプチド (Pro-Hyp-Gly) <sub>n</sub> (n=9,10,11)の単結晶構造解析	奥山 健二	東京農工大学	日本	BL40B2	2
2002A0091-CX-np	BST強誘電薄膜中にドーブされた不純物元素のXAFS	奥田 修弘	（株）富士電機総合研究所	日本	BL01B1	6
2002A0092-ND1-np	MgTO <sub>3</sub> (T:Si,Ti,Ge)の50GPa以上での単結晶構造解析による電子密度分布と原子間結合の圧力変化	山中 高光	大阪大学	日本	BL02B1	15
2002A0093-NL1-np	ニガウリ種子リボヌクレアーゼRNase MC1のX線結晶構造解析	角田 佳充	九州大学(申請時:大阪大学)	日本	BL41XU	3
2002A0095-NL1-np	高度好熱菌由来ATPスルフリラーゼのX線結晶構造解析	角田 佳充	九州大学(申請時:大阪大学)	日本	BL40B2	6
2002A0096-NL1-np	ロドプシン光反応中間体のX線結晶構造解析	岡田 哲二	産業技術総合研究所	日本	BL41XU	9
2002A0098-NDS2-np	共鳴X線磁気散乱による界面磁気ラフネスの評価	奥田 浩司	京都大学 (申請時 奈良先端大学院大)	日本	BL39XU	15
2002A0100-ND1-np	粉末X線回折によるPd系単一分子中性金属の構造解析	小林 昭子	東京大学	日本	BL02B2	9
2002A0101-NS2-np	希土類元素の四重極励起に伴う高分解能共鳴X線発光分光とその磁気円二色性の測定	河村 直己	（財）高輝度光科学研究センター	日本	BL39XU	16
2002A0103-CD2-np	ヨウ化錫の低圧結晶相-液相境界の精密測定	淵崎 員弘	愛媛大学	日本	BL14B1	12
2002A0106-ND2-np	地球下部マントル中に存在するアルミ相のX線その場観察	小野 重明	海洋科学技術センター	日本	BL10XU	6
2002A0108-CS1-np	Study on the Kondo Resonance of Ce Compounds by 3d-edge Resonance Photoemission Spectroscopy --- Intermediate-state and Coherence Effects	Oh Se-Jung	Seoul National University	Korea	BL25SU	9
2002A0109-NM-np	X線コンピュータ断層撮影法による高分子発泡体の三次元構造解析	陣内 浩司	京都工芸繊維大学	日本	BL20B2	5
2002A0111-NX-np	InGaN薄膜のXAFSによる局所構造解析	工藤 喜弘	ソニー(株)	日本	BL01B1	6
2002A0112-NL2-np	ストップフロー小角散乱によるカルモデュリンの標的分子認識機構解明	和泉 義信	山形大学	日本	BL45XU	4
2002A0113-ND1-np	MEM/Rietveld法による新規分子Pt[Ce <sub>2</sub> @C <sub>80</sub> ]の構造	高田 昌樹	名古屋大学	日本	BL02B2	9
2002A0114-ND1-np	炭素ケージクラスター内包C60 C92及びC88の構造決定	西堀 英治	名古屋大学	日本	BL02B2	6
2002A0115-CL2-np	結晶性高分子の融点近傍での構造変化のX線小角散乱による研究	戸田 昭彦	広島大学	日本	BL45XU	3
2002A0116-ND1-np	遮熱コーティング膜の酸化損傷の検出と残留応力測定	鈴木 賢治	新潟大学	日本	BL02B1	12
2002A0117-ND1-np	多孔性配位高分子錯体結晶のナノ細孔に物理吸着したメタン分子集団の直接観測	北川 進	京都大学	日本	BL02B2	9
2002A0118-NL2-np	X線小角散乱によるべん毛タンパク質輸送装置を構成するタンパク質複合体の組成の決定	長谷川 和也	科学技術振興事業団	日本	BL45XU	2
2002A0119-NL1-np	ヒト臍臓型RNaseの構造解析	山田 秀徳	岡山大学	日本	BL38B1	3
2002A0120-ND1-np	強磁性体CaB <sub>2</sub> 及びCaB <sub>2</sub> C <sub>2</sub> の精密構造解析	秋光 純	青山学院大学	日本	BL02B2	9
2002A0121-ND1-p	AXS (X線異常散乱) による複合金属酸化物の構造解析	山下 誠一	旭化成(株)	日本	BL02B1	8
2002A0122-NX-p	XAFS法による複合金属酸化物の構造解析	山下 誠一	旭化成(株)	日本	BL38B1	4
2002A0123-NS1-np	アミノ酸蒸着膜の内殻励起化学反応とXNCDの検出	中川 和道	神戸大学	日本	BL23SU	18
2002A0124-NL2-np	ラット腎組織中重金属(Pt, Au, I, Ba)蓄積部位の局所分析	高川 清	富山医科薬科大学	日本	BL39XU	3
2002A0126-NS1-np	O <sub>2</sub> /Cu(100)表面反応系におけるO <sub>2</sub> 分子の並進エネルギー誘起酸化の光電子分光研究	笠井 俊夫	分子科学研究所	日本	BL23SU	9
2002A0127-NX-np	In-situ DXAFSによる触媒の局所構造解析	横田 滋	（財）高輝度光科学研究センター	日本	BL28B2	12
2002A0128-ND1-np	表面界面構造解析装置(青土依付式超高真空チャンバ)の立ち上げ	坂田 修身	（財）高輝度光科学研究センター	日本	BL13XU	45
2002A0129-ND2-np	水とマグマの超臨界現象のその場観察	川本 竜彦	京都大学	日本	BL04B2	6
2002A0130-NL1-np	イネ-ガラクトシダーゼの結晶構造解析	藤本 瑞	農業生物資源研究所	日本	BL41XU	6
2002A0131-CL1-np	血液凝固IX因子Glaドメインのハブ毒由来IX因子結合タンパク複合体の構造解析	藤本 瑞	農業生物資源研究所	日本	BL41XU	3
2002A0133-NL2-np	微小血管造影法を利用した各種循環器疾患における微小循環の評価	横山 光宏	神戸大学	日本	BL20B2	15
2002A0134-NL2-np	収縮に伴う固有心筋の分子構造変化	梶谷 文彦	岡山大学	日本	BL40XU	6
2002A0135-NS2-np	波長分散全反射蛍光X線法による極微量元素の分析および化学状態評価	竹村 モモ子	（株）東芝	日本	BL40XU	18

PRESENT STATUS OF SPring-8

課題番号	課題名	実験責任者	所属	国名	B L	7/8数
2002A0136-ND1-np	重金属元素を含むAl系及びZn系正20面体準結晶の構造	山本 昭二	物質・材料研究機構	日本	BL04B2	6
2002A0137-NL2-np	内在性生体膜タンパク質OmpFの構造形成初期過程の特性評価	渡邊 康	食品総合研究所	日本	BL40B2	6
2002A0138-NX-np	XAFSによる $\text{In}_x\text{Ga}_{1-x}\text{N}$ ( $x=0.1, 0.2$ )単一量子井戸中のIn原子の局所構造	宮永 崇史	弘前大学	日本	BL10XU	6
2002A0139-NX-np	XAFSによる $\text{In}_x\text{Ga}_{1-x}\text{N}$ ( $x=0.3, 0.4, 0.5$ )単一量子井戸中のIn原子の局所構造	宮永 崇史	弘前大学	日本	BL38B1	12
2002A0140-NX-np	アルコール酸化脱水素反応に特異な活性を示す担持銀触媒の構造解析	西山 寛	神戸大学	日本	BL01B1	3
2002A0141-ND3-np	シンクロトロン光を用いた固体酸化物形燃料電池(3層)セルの電解質部残留応力測定	矢加部 久孝	東京ガス(株)	日本	BL09XU	9
2002A0142-NL1-np	産業利用を目指した超耐熱性酵素の結晶構造解析	石川 一彦	産業技術総合研究所	日本	BL40B2	3
2002A0143-ND1-np	アルキル鎖とフルオロアルキル鎖から構成された共重合脂肪族ポリエステル結晶構造	高原 淳	九州大学	日本	BL02B2	6
2002A0144-ND1-np	ポリエチレン及びポリプロピレン固体膜表面の結晶構造解析	高原 淳	九州大学	日本	BL13XU	6
2002A0145-NM-np	X線干渉計を用いたマイクロ位相トモグラフィ	百生 敦	東京大学	日本	BL20XU	27
2002A0146-NDL2-np	高分子液体の流動場下の広角X線回折・小角X線散乱の測定	村瀬 浩貴	東洋紡績(株)	日本	BL40B2	3
2002A0148-ND1-np	Structures, electron densities and phase transitions of $\text{Zn}_x\text{Sb}_{3-x}\text{K}_6(\text{AlSiO}_4)_6$ , $\text{Co}_3\text{Mo}_3\text{N}$ and $\text{Fe}_3\text{Mo}_3\text{N}$	Iversen Bo	University of Aarhus	Denmark	BL02B2	9
2002A0149-CD2-np	下部マントル条件下でのペリドタイトの相平衡2	伊藤 英司	岡山大学	日本	BL04B1	18
2002A0150-NM-np	ガス制動放射線による前方方向光核反応中性子スペクトルの測定	浅野 芳裕	日本原子力研究所	日本	BL40XU	9
2002A0152-ND1-np	GeTe-Sb <sub>2</sub> Te <sub>3</sub> 擬二元系化合物の組成、温度に伴う結晶構造変化に関する研究	松永 利之	藤松下テクノロジー	日本	BL02B2	6
2002A0153-NS2-np	High-Field XMCD study of induced magnetic compensation in $\text{Nd}_2\text{Fe}_{14}\text{B}$	Chaboy Jesus	Universidad de Zaragoza	Spain	BL39XU	12
2002A0155-NS2-np	常温透明磁石Co-doped $\text{TiO}_2$ 薄膜のX線磁気円二色性と磁性発現の解明	佐々木 聡	東京工業大学	日本	BL39XU	12
2002A0156-ND3-np	液体シリコン-ゲルマニウム合金のX線回折実験	乾 雅祝	広島大学	日本	BL28B2	6
2002A0158-NM-np	放射光被曝線量評価のための線量測定技術開発に関する研究	成山 展照	財高輝度光科学研究センター	日本	BL20B2	3
2002A0159-NM-np	大強度放射線場の確立と極限条件下の放射線感受性材料に関する研究	成山 展照	財高輝度光科学研究センター	日本	BL40XU	9
2002A0160-NX-np	応力下におけるアイオノマー樹脂および共架橋ゴムの構造変化の解析	岸本 浩通	住友ゴム工業(株)	日本	BL01B1	9
2002A0161-NM-np	角度アナライザーを用いた走査型暗視野顕微鏡法の検討	鈴木 芳生	財高輝度光科学研究センター	日本	BL20XU	15
2002A0162-NM-np	高空間分解能画像検出器の高エネルギー領域における特性評価	鈴木 芳生	財高輝度光科学研究センター	日本	BL20XU	39
2002A0163-NX-np	チタン酸化物光触媒に担持した酸化ルテニウムのXAFS測定	加藤 和男	財高輝度光科学研究センター	日本	BL38B1	3
2002A0164-ND2-np	ヘキサメチレントラミンの高圧下における電子密度分布解析	池田 智宏	日本原子力研究所	日本	BL10XU	3
2002A0166-NX-np	走査型静電容量プローブ顕微鏡-XAFS(SCM-XAFS)法の開発	石井 真史	財高輝度光科学研究センター	日本	BL10XU	6
2002A0167-CS1-np	Ti酸化のリアルタイムモニタリング光電子分光	高桑 雄二	東北大学	日本	BL23SU	9
2002A0168-ND1-np	イオン注入により作製した埋め込み酸化層の構造のX線回折法による研究	志村 考功	大阪大学	日本	BL13XU	15
2002A0169-NMD1-np	Si(111)7×7再構成表面の超格子反射の測定及びGe蒸着中のその場観察	志村 考功	大阪大学	日本	BL13XU	27
2002A0171-NM-np	X線トポグラフィによるSOIウエハ評価技術の開発	志村 考功	大阪大学	日本	BL20B2	9
2002A0172-NM-np	中尺アンジュレタビームライン用Kirkpatrick-Baez型全反射ミラーの開発	竹内 晃久	財高輝度光科学研究センター	日本	BL20XU	15
2002A0173-ND1-np	X-ray scattering studies of CDW (charge-density wave) modulation in the layered ruthenate compound $\text{BaRuO}_3$	Du Chao-Hung	Office at SPring-8	Japan	BL02B1	15
2002A0174-NL2-np	アンジュレタビームラインを用いた高分解能血管造影実験	梅谷 啓二	財高輝度光科学研究センター	日本	BL20XU	3
2002A0175-NL2-np	高速マイクロangiグラフィ装置を使った心臓微小循環の観察	梅谷 啓二	財高輝度光科学研究センター	日本	BL28B2	12
2002A0176-NL2-np	400万画素画像検出器を使った5~8μm解像度の微小血管造影装置の開発	梅谷 啓二	財高輝度光科学研究センター	日本	BL20B2	12
2002A0177-CL1-np	Ni酵素に結合した阻害剤CO配位子の極低温(30K)における安定型配位構造の超高分解能X線構造化学	樋口 芳樹	京都大学	日本	BL40B2	3
2002A0179-NLMD2-np	高分解能X線CT法による微隕石の密度測定	土山 明	大阪大学	日本	BL47XU	12
2002A0180-NLMD2-np	高分解能X線CT法による地質年代測定のための隕石中からのジルコン探査	土山 明	大阪大学	日本	BL20B2	12
2002A0182-ND3-np	Collective and localized excitations in liquid Si and Ge	Hosokawa Shinya	Philipps University of Marburg	Germany	BL35XU	15
2002A0183-NL2-np	小角X線散乱法によるシリカの粒子生成、成長のメカニズムの研究	矢口 和彦	富士シリシア化学(株)	日本	BL40B2	3
2002A0185-ND1-np	高エネルギーX線回折によるEMIF・HF固体および液体の構造解析	萩原 理加	京都大学	日本	BL04B2	9
2002A0188-ND2-np	金属スカンジウム300GPaまでの圧力誘起構造相転移の研究	赤浜 裕一	姫路工業大学	日本	BL10XU	3
2002A0189-ND2-np	固体酸素高圧相の300GPaまでの粉末X線構造解析	赤浜 裕一	姫路工業大学	日本	BL10XU	6
2002A0190-NS1-np	Arクラスターの内殻励起過程のサイズ依存性(超音速分子線装置の調整)	為則 雄祐	財高輝度光科学研究センター	日本	BL27SU	9
2002A0192-ND1-np	高エネルギーX線を用いた偽対称を持つ重原子化合物の単結晶X線構造解析	尾関 智二	東京工業大学	日本	BL04B2	9
2002A0196-NL2-np	微細構造からみたACR推奨乳房ファントムの品質に関する屈折率強調イメージングによる検証	今村 恵子	聖マリアンナ医科大学	日本	BL20B2	1
2002A0198-NS1-np	$\text{Ba}_9\text{Si}_{46-x}\text{Ge}_x$ および $\text{Ba}_9\text{Si}_{46-x}\text{Ag}_x$ クラスレートの光電子分光	小林 啓介	財高輝度光科学研究センター	日本	BL25SU	9
2002A0199-NS1-np	薄膜シリコン酸化膜の化学構造の深さ方向分析	服部 健雄	武蔵工業大学	日本	BL27SU	6
2002A0200-NL1-np	光化学系 複合体結晶の分解能の改善とその構造解析	沈 建仁	理化学研究所	日本	BL41XU	4
2002A0201-ND1-np	BL13XUにおける液体窒素冷却2結晶分光器の第1結晶からのCompton散乱をよけるシールドの効果の評価	坂田 修身	財高輝度光科学研究センター	日本	BL13XU	18
2002A0203-ND3-np	$\text{SmB}_2\text{C}_2$ の核共鳴散乱	筒井 智嗣	財高輝度光科学研究センター	日本	BL09XU	10
2002A0204-ND1-np	珪酸カルシウム塩水和物の結晶構造解析	酒向 謙太郎	旭化成(株)	日本	BL02B2	3
2002A0206-NL2-np	心筋の後負荷収縮におけるクロスブリッジの構造変化	奥山 博司	川崎医科大学	日本	BL45XU	4
2002A0207-CD3-np	高温安定相fcc-Coおよびfcc- $\text{Fe}_{50}\text{Ni}_{50}$ の磁気コンプトンプロファイル	坂井 信彦	姫路工業大学	日本	BL08W	21
2002A0210-ND1-np	$\text{Y}_{1-x}\text{Ca}_x\text{TiO}_3$ における金属絶縁体転移に伴う構造変化	加藤 健一	財高輝度光科学研究センター	日本	BL02B2	6
2002A0213-ND1-np	2種類の副格子秩序変数をもつフェリ弾性体 $\text{CsLiCrO}_3$ の結晶構造解析	澤田 昭勝	岡山大学	日本	BL02B2	3

課題番号	課題名	実験責任者	所属	国名	BL	7/8数
2002A0215-ND1-np	高強度銅およびチタン合金の疲労破壊起点における微小な水素濃化領域のX線構造解析	村上 敬宜	九州大学	日本	BL02B2	3
2002A0216-ND3-np	Ti-6Al-4V合金の微小領域における残留応力分布の測定	村上 敬宜	九州大学	日本	BL09XU	9
2002A0217-NL2-np	単色X線CTによる骨形成速度の三次元的評価	曽根 照喜	川崎医科大学	日本	BL20B2	3
2002A0219-NL1-np	グリセルアルデヒド-3-リン酸デヒドロゲナーゼと基質および補酵素との複合体の高分解能構造解析	多田 俊治	大阪府立大学	日本	BL41XU	3
2002A0220-NL1-np	ペクチン酸リアーゼPL47と基質類似化合物との複合体の高分解能構造解析	多田 俊治	大阪府立大学	日本	BL40B2	3
2002A0221-NL1-np	フルクトース-1,6-/セドヘプツロース-1,7-ビスホスファターゼ(FBP/SBPase)のSe-MetおよびHg誘導体を用いたMAD法による構造解析	多田 俊治	大阪府立大学	日本	BL41XU	3
2002A0222-CL2-np	ヒトの切除標本やラットにおける肝細胞癌腫瘍血管の微細構造の描出および3次元構築の解明	中村 仁信	大阪大学	日本	BL20B2	6
2002A0223-NX-np	焼却飛灰中重金属の形態同定における逐次抽出法とXAFSによる同定法の比較	高岡 昌輝	京都大学	日本	BL01B1	12
2002A0225-NL2-np	テレケリックイオノマーの会合構造	高田 晃彦	九州大学	日本	BL45XU	4
2002A0228-ND1-np	希土類を含むフラーレン化合物の電子密度レベルでの構造解析	谷垣 勝己	大阪市立大学	日本	BL02B2	6
2002A0230-NS1-np	内殻励起分光スペクトルによる遷移金属含有Si/Geクラスレートの研究	谷垣 勝己	大阪市立大学	日本	BL25SU	3
2002A0231-NLML2-np	Sn系合金の結晶成長過程における非定常組織の動的観察と凝固欠陥制御	大中 逸雄	大阪大学	日本	BL20B2	9
2002A0232-NLML2-np	Al <sub>2</sub> O <sub>3</sub> -YAG-ZrO <sub>2</sub> 系 3元共晶セラミックスの3次元構造解析	安田 秀幸	大阪大学	日本	BL47XU	7
2002A0233-NL2-np	in vivoにおけるラットの冠動脈造影	徳永 宜之	国立循環器病センター	日本	BL20B2	9
2002A0235-ND1-np	Al-(Mn,Re)-Si正20面体相近似結晶の結合形態と電子物性の相関	木村 薫	東京大学	日本	BL02B2	6
2002A0236-CS1-np	内殻正孔の対称性を分離したHCl分子の共鳴オージェ電子と生成イオンの角度分解同時計測	吉田 啓晃	広島大学	日本	BL27SU	9
2002A0237-NS2-np	蛍光X線ホログラフィーによる高温酸化物超伝導体の格子欠陥構造の評価	寺澤 倫孝	姫路工業大学	日本	BL47XU	3
2002A0238-NL1-np	ADP依存性キナーゼを主とする解糖系酵素群のX線結晶構造解析	伏信 進矢	東京大学	日本	BL40B2	3
2002A0239-NX-np	下水汚泥中の微量金属元素の結合状態	名越 正泰	日本鋼管(株)	日本	BL01B1	12
2002A0242-CS1-np	ペロフスカイトMn酸化物で観測されるエネルギーギャップと擬ギャップの温度依存性	竹内 恒博	名古屋大学	日本	BL25SU	9
2002A0243-ND1-np	Cd-Yb, Cd-Ca系 1/1-立方近似結晶の精密構造解析	竹内 恒博	名古屋大学	日本	BL02B2	6
2002A0244-CL2-np	光子計数型 2重エネルギー単色X線CTシステムの開発	豊福 不可依	九州大学	日本	BL20B2	6
2002A0245-ND2-np	Reactions in the system Fe-H-O at high-pressures and temperatures	ウォルター・マイケル	岡山大学	日本	BL10XU	9
2002A0248-NL2-np	骨格筋のミオシン軽鎖リン酸化は、ミオシンフィラメントの構造をどう変えるか?	山口 眞紀	東京慈恵会医科大学	日本	BL45XU	4
2002A0250-NL2-np	樹木のミクロフィブリル傾角とその生物学的意思 - いかに樹木全体が力学的に最適化されているか -	杉山 淳司	京都大学	日本	BL40B2	3
2002A0251-NX-np	NO吸着によるゼオライト担持金属硫化物クラスターの構造変化の解析	久保田 岳志	島根大学	日本	BL01B1	3
2002A0252-NM-p	X線アクティブナノ計測に関する予備検討	桜井 健次	物質・材料研究機構	日本	BL39XU	2
2002A0254-ND3-np	磁場・磁気力・宇宙環境がタンパク質結晶の品質に及ぼす効果 - 白色X線トポグラフィを用いた評価	安宅 光雄	産業技術総合研究所	日本	BL28B2	12
2002A0255-CL1-np	Structure determination of the catalytic region of the human complement component C1r.	Kardos Jozsef	大阪大学	日本	BL41XU	3
2002A0256-NL2-np	糖脂質ラフトの形成機構と機能構造に関する研究	平井 光博	群馬大学	日本	BL40B2	12
2002A0258-ND1-np	硬質膜の内部応力の評価	英 崇夫	徳島大学	日本	BL13XU	6
2002A0260-NDL2-np	高分子の変形と結晶化	深尾 浩次	京都工芸繊維大学	日本	BL45XU	4
2002A0261-NL1-np	分岐鎖アミノ酸アミノ基転移酵素の反応機構	宮原 郁子	大阪市立大学	日本	BL41XU	1
2002A0266-ND1-np	多層カーボンナノチューブの熱膨張率	真庭 豊	東京都立大学	日本	BL02B2	6
2002A0267-ND1-np	MEM法によるキノリンを架橋配位子とする銅錯体の二次相転移に伴う電子密度分布の温度変化	安井 正憲	電気通信大学	日本	BL02B2	3
2002A0268-ND1-np	単結晶の崩壊を伴うアンル尿素誘導体のMEM法による相転移機構の解明	橋爪 大輔	電気通信大学	日本	BL02B2	3
2002A0270-ND1-np	-(BETS) <sub>2</sub> FeCl <sub>4</sub> の導電性強誘電相転移と構造変化	野田 幸男	東北大学	日本	BL02B1	18
2002A0271-CM-np	高エネルギー白色マイクロビームによるSRスベクトロ散乱顕微トポグラフィ技術の開発	近浦 吉則	九州工業大学	日本	BL28B2	15
2002A0272-ND3-np	ナノトポグラフィを有するシリコンウエハの平面波X線トポグラフィによる観察	鈴木 芳文	九州工業大学	日本	BL20B2	6
2002A0275-CD2-np	高温高圧下におけるFe-FeS系融体の静的構造	浦川 啓	岡山大学	日本	BL04B1	15
2002A0278-ND3-np	Fe57核共鳴非弾性散乱による、Fe原子位置規則不規則構造変化に伴う2次元単準結晶d-AlNiFeのFe原子振動状態の変化の研究	柴田 薫	(申請時 東北大)	日本	BL11XU	6
2002A0279-ND3-np	X線非弾性散乱による、正20面体準結晶i-CdYbのフォノン分散関係の研究	柴田 薫	日本原子力研究所(申請時 東北大学)	日本	BL35XU	9
2002A0280-ND3-np	161Dy核共鳴非弾性散乱による、正20面体準結晶h-ZnMgDyおよび関連結晶h-ZnMgDyのDy原子振動状態の研究	柴田 薫	日本原子力研究所(申請時 東北大学)	日本	BL35XU	9
2002A0281-ND1-np	銅薄膜の加熱サイクルにおける内部応力のその場測定	田中 啓介	名古屋大学	日本	BL02B1	6
2002A0283-NSL2-np	筋萎縮性側索硬化症における神経細胞死に関する研究	井手 亜里	京都大学	日本	BL39XU	6
2002A0285-ND1-np	低温型表面X線回折装置によるPt(111),Cu(111)およびSi(111)表面上の水の吸着構造解析	伊藤 正時	慶應義塾大学	日本	BL13XU	33
2002A0286-ND1-np	In-situ表面X線回折による電極表面の構造解析: Au(111)およびPt(111)電極表面に吸着した水の構造	伊藤 正時	慶應義塾大学	日本	BL13XU	12
2002A0287-NL1-np	新規構造を持つDNAと遺伝病との関連の構造化学的研究	大石 宏文	大阪薬科大学	日本	BL40B2	6
2002A0288-NL2-np	希薄溶液中におけるシクロアミロース包接構造の解明	湯口 宜明	産業技術総合研究所	日本	BL40B2	6
2002A0289-NDL2-np	セラミックナノ材料の形成過程の研究	足立 基齊	京都大学	日本	BL45XU	2
2002A0290-ND3-np	放射光トポグラフィによる金属材料の動的復旧過程の解析	美浦 康宏	九州大学	日本	BL28B2	6
2002A0292-NX-np	広域X線吸収微細構造法によるGaInNAs薄膜の局所構造解析	瀧澤 俊幸	松下電器産業(株)半導体社	日本	BL01B1	9
2002A0293-NL1-np	アルギニコハク酸合成酵素とその基質アナログ複合体のX線構造解析	宮原 郁子	大阪市立大学	日本	BL41XU	3
2002A0294-NS1-np	軟X線角度分解光電子分光による酸化物高温超伝導体の電子状態の研究	横谷 尚睦	東京大学	日本	BL27SU	9
2002A0296-ND2-np	大容量高温高圧その場X線観察装置SPEED-Mk の立ち上げ	桂 智男	岡山大学	日本	BL04B1	27

PRESENT STATUS OF SPring-8

課題番号	課題名	実験責任者	所属	国名	B L	7/8数
2002A0297-ND2-np	(Mg, Fe) <sub>2</sub> SiO <sub>4</sub> 系のかんらん石-変形スピネル転移の相平衡関係の再決定	桂 智男	岡山大学	日本	BL04B1	6
2002A0298-ND2-np	高压下でのMORB - 水系におけるガーネット - ポストガーネット転移境界の決定	大谷 栄治	東北大学	日本	BL04B1	15
2002A0299-ND2-np	アルミナを含む下部マントル高压相の状態方程式の決定	近藤 忠	東北大学	日本	BL04B2	9
2002A0300-CL2-np	広Q域におけるX線散乱プロファイルの精密解析による蛋白質の溶液構造と水和状態の研究	曾田 邦嗣	長岡技術科学大学	日本	BL40B2	9
2002A0301-NL2-np	高解像度マイクロCTによる心筋内毛細血管洞の三次元構造解析	立花 博之	川崎医療短期大学	日本	BL20B2	6
2002A0302-ND3-np	内部転換電子放射と核共鳴X線前方散乱の同時測定による鉄シリサイド形成過程の研究	岡野 達雄	東京大学	日本	BL09XU	18
2002A0305-NS1-np	軟X線磁気円二色性によるNi <sub>50</sub> Gd <sub>50</sub> 及びNi <sub>2</sub> Gd単結晶のNiの磁気モーメントの検討	矢野 一雄	日本大学	日本	BL25SU	8
2002A0307-ND1-np	Pt(110)電極表面の酸化還元サイクルによる再構成構造解析	遠藤 理	東京農工大学	日本	BL13XU	9
2002A0309-NL2-np	臨床応用を目指す中照射野光学系の開発と肺ガン描出の試み	宇山 親雄	広島国際大学	日本	BL20B2	6
2002A0310-ND3-np	白色X線トポグラフィによるSiC結晶欠陥の挙動の研究	山口 博隆	産業技術総合研究所	日本	BL28B2	6
2002A0311-ND1-np	大型デバイ・シェーラーカメラの回折角の更正	坂田 誠	名古屋大学	日本	BL02B2	6
2002A0312-ND2-np	Liの低温高压下構造と伝導性	清水 克哉	大阪大学	日本	BL10XU	12
2002A0313-NL1-np	Thermus thermophilus HB8 由来キノン還元酵素のX線結晶解析	福山 恵一	大阪大学	日本	BL41XU	3
2002A0314-ND1-np	La-214系高温超伝導体における電荷ストライプ秩序の定量的測定と構造モデルの構築	木村 宏之	東北大学	日本	BL46XU	36
2002A0315-NL2-np	放射光X線位相コントラストによる骨画像計測法の開発	森 浩一	茨城県立医療大学	日本	BL20B2	6
2002A0316-NL2-np	X線マイクロトモグラフィを用いた岩石粒界流体の三次元分布形態の研究	中村 美千彦	東北大学	日本	BL47XU	6
2002A0317-ND3-np	多派回折を利用したSiO <sub>2</sub> /Si界面付近の微小歪みの測定	矢代 航	産業技術総合研究所	日本	BL09XU	12
2002A0321-NX-np	On effects of nuclear excitations for precise EXAFS	Collins Carl	University of Texas at Dallas	USA	BL01B1	9
2002A0322-ND3-np	チタン酸ストロンチウムドメインによるX線トポグラフィックコントラストの温度変化測定	尾崎 徹	広島工業大学	日本	BL28B2	12
2002A0323-NL2-np	腎微小循環系の3次元構築による血管構造解析	小笠原 康夫	川崎医科大学	日本	BL20B2	9
2002A0324-CD2-np	焼結ダイヤモンドを用いた海洋地殻関連物質の40GPa領域での相転移その場観察	入船 徹男	愛媛大学	日本	BL04B1	18
2002A0325-ND2-np	パイロライトのマントル遷移層条件下での相変化と密度変化	入船 徹男	愛媛大学	日本	BL04B1	12
2002A0326-ND1-np	高温超伝導体(Pb,Cu)Sr <sub>2</sub> Y <sub>0.8</sub> Ca <sub>0.8</sub> Cu <sub>2</sub> O <sub>7</sub> の電子密度分布の温度変化	田中 清明	名古屋工業大学	日本	BL02B1	6
2002A0327-NDL2-np	マロン酸誘導体の励起構造および電子密度の時間分解X線解析	田中 清明	名古屋工業大学	日本	BL40XU	12
2002A0328-NL2-np	流動場下におけるポリプロピレンの結晶化機構	金谷 利治	京都大学	日本	BL45XU	3
2002A0329-ND1-np	セラミックス被膜及びセラミック基板中の残留応力の深さ方向プロファイル	梯 伸一郎	三菱マテリアル(株)	日本	BL02B1	9
2002A0330-CD2-np	CuBrの高温高压下での相関係	大高 理	大阪大学	日本	BL11XU	9
2002A0332-NX-np	アルカリGeO <sub>2</sub> メルトの高温高压下でのXAFS測定	大高 理	大阪大学	日本	BL14B1	9
2002A0333-ND2-np	含水地球マントル物質における完全混和現象のその場観察	Mibe Kenji	Carnegie Institution of Washington	USA	BL04B1	6
2002A0335-NL2-np	放射光を用いた腫瘍微小血管動態に関する基礎的研究	今井 茂樹	川崎医科大学	日本	BL20B2	12
2002A0337-NM-p	シンクロトロン放射光による微量元素分析	鈴木 康弘	警察庁科学警察研究所	日本	BL08W	9
2002A0338-ND1-np	Agテープ内におけるBi2223相形成の高温下でのその場観察	長村 光造	京都大学	日本	BL02B1	12
2002A0339-NL1-np	ビタミンB12補酵素関与ジオールヒドラーゼおよびグリセロールヒドラーゼのグリセロールによる自殺不活性化機構の結晶学的解析	虎谷 哲夫	岡山大学	日本	BL41XU	6
2002A0340-NL2-np	生体内拍動心を用いたクロスブリッジ動態の実時間解析	白井 幹康	国立循環器病センター	日本	BL40XU	6
2002A0342-NX-np	Zn-K端XAFS法によるMgO中でのドーパントクラスターの構造解析	田中 功	京都大学	日本	BL01B1	6
2002A0345-ND1-np	P-Se系ガラスの構造	福永 俊晴	京都大学	日本	BL04B2	6
2002A0346-ND1-np	ナノVHxの構造	伊藤 恵司	京都大学	日本	BL04B2	9
2002A0348-CD1-np	超微細粒鋼における組織形成機構解明のためのIn-situ-XRD技術の高度化	渡部 孝	(株)コベルコ科研	日本	BL04B2	6
2002A0349-CX-np	超微細粒鋼における組織形成機構解明のためのIn-situ-EXAFSの高度化	渡部 孝	(株)コベルコ科研	日本	BL38B1	8
2002A0350-NL2-np	小角X線散乱法によるくし型高分子会合体の構造形成過程の動力学的研究	秋葉 勇	北九州市立大学	日本	BL45XU	4
2002A0351-ND1-np	フェムトシリカの加压成形により作製したシリカガラスの構造解析	内野 隆司	神戸大学(申請中:京都大学)	日本	BL04B2	9
2002A0352-NL2-np	生体内拍動心のX線回折画像処理	西浦 直亀	国立循環器病センター	日本	BL40XU	6
2002A0353-NX-np	超分子ドンドリマーに固定化した金属活性種のXAFSによる微細構造解析	金田 清臣	大阪大学	日本	BL01B1	6
2002A0354-NLM-np	高空間分解能XTMによる部分溶融岩石中の3次元構造に関する研究	池田 進	東京大学	日本	BL47XU	6
2002A0355-NL1-np	モリブデンヒドロキシラーゼの各種反応中間体の追跡	西野 武士	日本医科大学	日本	BL40B2	9
2002A0356-NS1-np	内殻共鳴励起ホルムアルデヒド分子の緩和・解離ダイナミクス: 超高分解能・角度分解オージェ電子分光 / イオン収量法からのアプローチ	田中 大	上智大学	日本	BL27SU	12
2002A0357-NS1-np	超高分解能オージェスペクトル・ドブナーシフトによる内殻励起分子の超高速解離過程の研究	北島 昌史	上智大学	日本	BL27SU	5
2002A0359-NM-np	X線照射によって誘起される有機金属 - 絶縁体転移の研究	谷口 弘三	埼玉大学	日本	BL28B2	6
2002A0360-ND2-np	ZnSiO <sub>3</sub> 輝石における高压相転移のその場観察	神崎 正美	岡山大学	日本	BL04B1	3
2002A0362-NMD3-np	動力学的回折効果を利用するパラメトリック散乱現象の研究	高橋 敏男	東京大学	日本	BL09XU	12
2002A0363-ND3-np	ヘテロダイン方式による181Ta核共鳴前方散乱	那須 三郎	大阪大学	日本	BL09XU	8
2002A0364-NL1-np	セレノメチオン置換結晶を用いたデヒドロアスコルビン酸レダクターゼの構造解析	松村 浩由	大阪大学	日本	BL41XU	2
2002A0365-NL1-np	新規阻害剤PGD-045結合型ヒト由来PGDS複合体の超高分解能解析	井上 豪	大阪大学	日本	BL40B2	3
2002A0366-NL1-np	アフリカ眠り病を引き起こす寄生虫Trypanosoma brucei由来プロスタグランジン合成酵素の構造解析	井上 豪	大阪大学	日本	BL40B2	3

課題番号	課題名	実験責任者	所属	国名	BL	7/8数
2002A0367-NL1-np	Hyphomicrobium denitrificans由来亜硝酸還元酵素の構造解析	井上 豪	大阪大学	日本	BL41XU	3
2002A0368-ND3-np	SR白色X線トポグラフィによるSiC結晶成長プロセスの究明	西野 茂弘	京都工芸繊維大学	日本	BL28B2	6
2002A0369-CX-np	ガラス基板にコーティングしたニッケルイオン担持酸化チタン薄膜の転換電子収量法によるTiK吸収端XAFS測定	脇田 久伸	福岡大学	日本	BL01B1	3
2002A0370-ND1-np	リチウムマンガンスピネル酸化物の高温サイクル時の構造変化の解析	小林 弘典	産業技術総合研究所	日本	BL02B2	6
2002A0373-NX-np	Gd-Co系の固相拡散反応過程での相変態	中井 生央	鳥取大学	日本	BL01B1	12
2002A0374-NL1-np	超高度好熱古細菌由来ホスホグリセリン酸キナーゼの結晶構造解析	姚 閔	北海道大学	日本	BL41XU	3
2002A0375-NL1-np	古細菌翻訳開始因子eIF-2 のX線結晶構造解析	姚 閔	北海道大学	日本	BL41XU	3
2002A0376-NL1-np	カルシウム結合タンパク質MRP8/14 hetero complexのX線結晶構造解析	田中 勲	北海道大学	日本	BL41XU	3
2002A0377-NL1-np	Thermus thermophilus 由来メタピロカテラーゼ(1521)の反応機構の解明	渡邊 信久	北海道大学	日本	BL41XU	7
2002A0378-ND3-np	SR白色X線トポグラフィによる3C-SiC/Siチャネルエピタキシャル界面のキャラクタリゼーション	平井 敦彦	京都工芸繊維大学	日本	BL28B2	6
2002A0379-CS1-np	Photoelectron diffraction of free molecules: PF <sub>3</sub> and SiF <sub>4</sub> illuminated from within	De Fanis Alberto	東北大学	日本	BL27SU	9
2002A0380-NDL2-np	高純度天然ゴムの繊維X線結晶構造解析	野口 恵一	東京農工大学	日本	BL40B2	3
2002A0381-ND1-np	反強誘電性液晶化合物の微小単結晶による結晶構造解析	野口 恵一	東京農工大学	日本	BL04B2	3
2002A0383-NL2-np	Spring-8放射光による腫瘍微小血管構築と放射線感受性に関する検討 - 血管新生因子の放射線感受性に及ぼす影響 -	釋 舎 竜司	川崎医科大学	日本	BL20B2	6
2002A0384-NX-np	XAFSによる酸化イリジウム系高耐久性アノードの構造解析	石原 嗣生	兵庫県立工業技術センター	日本	BL01B1	6
2002A0387-NL2-np	Photoactive Yellow Proteinの活性中間体で生じるN末端ドメインの構造変化	片岡 幹雄	奈良先端科学技術大学院大学	日本	BL40B2	9
2002A0390-NL1-np	Bcl-xLおよび阻害剤複合体の結晶構造解析	黒木 良太	キリンビール(株)	日本	BL41XU	3
2002A0395-NL2-np	Spring-8放射光による心筋微小血管・アングيوグラフィ：血液灌流摘出心モデルへの応用	松本 健志	川崎医療短期大学	日本	BL20B2	3
2002A0396-NM-np	フレネル・ゾーンプレートを用いた酸化物超伝導体のspeckle回折実験(その2)	鈴木 拓	北九州市立大学	日本	BL20XU	33
2002A0397-NX-np	ルテニウム-TPA-アセトニトリル錯体のEXAFS測定	鈴木 拓	北九州市立大学	日本	BL01B1	1
2002A0398-NX-np	分子認識系錯体、Cu( )-bpy錯体のEXAFS測定	鈴木 拓	北九州市立大学	日本	BL01B1	2
2002A0399-CD2-np	鉄の酸化物および硫化物の高圧相	廣瀬 敬	東京工業大学	日本	BL10XU	12
2002A0400-CD2-np	玄武岩の下部マントル条件における密度精密決定	高橋 栄一	東京工業大学	日本	BL04B1	12
2002A0401-NS1-np	高分解能共鳴光電子分光によるLa <sub>x</sub> Ce <sub>1-x</sub> Si中のCe4f電子状態	三村 功次郎	大阪府立大学	日本	BL25SU	10
2002A0402-ND1-np	ジフェニルピリジン系液晶性物質の微小結晶の構造解析によるキララな相互作用の解明	堀 佳也子	お茶の水女子大学	日本	BL04B2	9
2002A0403-ND1-np	シアノビフェニル系液晶性物質の結晶多形の相転移挙動	堀 佳也子	お茶の水女子大学	日本	BL02B2	3
2002A0405-CS2-np	前立腺癌における微量金属元素の挙動とその役割の解明	杉村 和朗	神戸大学	日本	BL39XU	6
2002A0406-NL1-np	Thermus thermophilus HB8 株由来 Peptide deformylase の X 線結晶構造解析	田之倉 優	東京大学	日本	BL40B2	3
2002A0407-NL1-np	脱硫酵素BdsAのX線結晶構造解析	田之倉 優	東京大学	日本	BL41XU	6
2002A0408-ND1-np	粉末精密構造解析法による反応中間体の解明	杉本 邦久	理学電機(株)	日本	BL02B2	6
2002A0409-NX-np	腐食過程におけるマグネシウム合金超塑性材料中の亜鉛の局所構造	森 久史	鉄道総合技術研究所	日本	BL38B1	3
2002A0413-ND1-np	新奇光触媒Bi <sub>2</sub> MnNbO <sub>7</sub> 酸化物(M=Al, Ga, In, La-Yb)の結晶構造解析	山田 裕	島根大学	日本	BL02B2	3
2002A0414-ND2-np	強磁性・超伝導共存型RuSr <sub>2</sub> MCu <sub>2</sub> O <sub>8</sub> (M=Gd, Eu)酸化物の加圧下における結晶構造解析	山田 裕	島根大学	日本	BL10XU	6
2002A0416-NM-np	硬X線用のFresnel zone plateの高分解能化II：中尺ビームライン20XUにおける実験	上條 長生	関西医科大学	日本	BL20XU	21
2002A0417-NL1-np	高度好熱菌Thermus thermophilus HB8由来クエン酸シンターゼ・リガンド複合体のX線結晶構造解析	神山 勉	名古屋大学	日本	BL41XU	1
2002A0418-NL1-np	光捕集クロロフィルa/b蛋白質複合体の結晶構造解析	神山 勉	名古屋大学	日本	BL41XU	2
2002A0419-NL1-np	バクテリオロドプシンのL中間体のX線結晶構造解析	神山 勉	名古屋大学	日本	BL41XU	2
2002A0420-NL1-np	膜蛋白質が形成する球殻構造体のX線結晶構造解析	神山 勉	名古屋大学	日本	BL41XU	1
2002A0422-CL1-np	大腸菌リ酸レギュロン転写活性化因子PhoBのX線結晶構造解析	白木原 康雄	国立遺伝学研究所	日本	BL41XU	6
2002A0424-NM-np	高効率蛍光X線分光器の開発	桜井 健次	物質・材料研究機構	日本	BL40XU	30
2002A0428-NS1-np	強磁性体La <sub>x</sub> Ca <sub>1-x</sub> B <sub>6</sub> の高分解能光電子分光及びXAS-MCD	関山 明	大阪大学	日本	BL25SU	9
2002A0429-NS1-np	XAS-MCDによるNd <sub>1-x</sub> Sr <sub>x</sub> MnO <sub>3</sub> 中希土類元素の磁性への寄与	関山 明	大阪大学	日本	BL25SU	6
2002A0431-CS2-np	ヒザラガイの歯に存在する磁鉄鉱とその関連化合物のマイクロXAFS分析	沼子 千弥	徳島大学	日本	BL39XU	6
2002A0432-NS1-np	室温強磁性半導体Cd <sub>1-x</sub> Mn <sub>x</sub> GP <sub>2</sub> Zn <sub>1-x</sub> Mn <sub>x</sub> GeP <sub>2</sub> のMn磁気モーメントの温度変化	今田 真	大阪大学	日本	BL25SU	9
2002A0433-NS1-np	重い電子系および近藤系Pr化合物の4f電子状態とPr3d共鳴光電子過程の解明	今田 真	大阪大学	日本	BL25SU	12
2002A0435-NL2-np	昆虫外骨格におけるキチン - タンパク質複合体の構造	和田 昌久	東京大学	日本	BL40B2	1
2002A0436-ND3-np	Zn-Mg-希土類系準結晶の高分解能コンプトン散乱測定	七尾 進	東京大学	日本	BL08W	18
2002A0437-NL2-np	糖尿病モデルラットにおける腎臓内血行動態異常の観察	守殿 貞夫	神戸大学	日本	BL20B2	6
2002A0438-NL2-np	肝硬変ラットの摘出肝におけるEndothelin-1に対する微小血管反応性の評価	林 祥剛	神戸大学	日本	BL20B2	6
2002A0439-NL2-np	食塩感受性高血圧モデルラットにおける冠血管反応性の評価	川嶋 成乃亮	神戸大学	日本	BL28B2	9
2002A0440-NL1-np	γ-グルタミルシステイン合成酵素の遷移状態アナログ複合体の構造解析	日昇 隆雄	福井県立大学	日本	BL41XU	3
2002A0441-NL1-np	紫外線損傷DNA光産物と抗体Fabとの複合体のX線結晶構造解析	佐藤 能雅	東京大学	日本	BL41XU	3
2002A0442-NL1-np	ファブリー病を生ずるヒトβ-ガラクトシダーゼの構造生物学研究	佐藤 能雅	東京大学	日本	BL41XU	3
2002A0443-NL1-np	遺伝子ホーミングエンドヌクレアーゼVDEと前駆体基質2本鎖DNAとの複合体のX線解析	佐藤 能雅	東京大学	日本	BL40B2	3
2002A0445-ND1-np	2次元BEDT-TTF有機導体における電荷整列と構造相転移	渡邊 真史	東北大学	日本	BL02B2	6
2002A0447-ND1-np	生体活性物質としてのシュウ酸カルシウムの結晶構造	田所 誠	大阪市立大学	日本	BL02B1	3
2002A0448-ND1-np	導電性混合原子価銅錯体の微小結晶構造解析	田所 誠	大阪市立大学	日本	BL02B1	3

PRESENT STATUS OF SPring-8

課題番号	課題名	実験責任者	所属	国名	B L	7/8数
2002A0449-NX-np	超音波キャビテーションにより合成した金・パラジウム二元金属ナノ構造触媒材料のXAFS	中川 貴	大阪大学	日本	BL01B1	6
2002A0450-NX-np	鉄/貴金属のコア/シェル構造を持つ磁性複合ナノ粒子材料のXAFS	中川 貴	大阪大学	日本	BL01B1	6
2002A0451-NL1-np	酵母mRNAグアニル酸転移酵素の構造解析	深海 隆明	日本ロシユ(株)研究所	日本	BL41XU	3
2002A0454-NM-np	シリコン単結晶インゴットのX線ステップスキャンニング・セクショントポグラフィ	川戸 清爾	理学電機(株)	日本	BL20B2	12
2002A0455-ND3-np	大口径シリコンウェハの熱処理プロセスで発生する結晶欠陥の透過回折X線トポグラフィ	川戸 清爾	理学電機(株)	日本	BL20B2	9
2002A0456-ND2-np	アナーゼ型二酸化チタンにおける圧力誘起相転移	関谷 隆夫	横浜国立大学	日本	BL10XU	6
2002A0457-ND1-np	Pt(bqd)2の高圧力下における電子相転移と結晶構造	浜谷 望	お茶の水女子大学	日本	BL02B1	18
2002A0458-ND2-np	Sn14の圧力誘起アモルファスの相転移	浜谷 望	お茶の水女子大学	日本	BL04B2	12
2002A0459-NL2-np	ポリマー修飾金コロイドのレクチン添加による凝集過程のX線構造解析	大塚 英典	産業技術総合研究所	日本	BL45XU	2
2002A0460-ND2-np	Mn系層状スピンガラスの圧力誘起半導体金属転移に伴う構造変化と物性異常	松下 明行	物質・材料研究機構	日本	BL10XU	6
2002A0461-NL2-np	小型及び微小化石の非破壊による内部構造の把握	安藤 正海	高エネルギー加速器研究機構	日本	BL20XU	6
2002A0462-NL2-np	新型X線光学系“Owl”による乳癌早期診断システムの開発	安藤 正海	高エネルギー加速器研究機構	日本	BL20B2	6
2002A0463-NMD3-np	14.4 keVメスバウアー波長の精密測定	張 小威	高エネルギー加速器研究機構	日本	BL09XU	12
2002A0464-NS1-np	Cu(001)上のcrossed-wedge Cu/NiにおけるCu薄膜下のNi結晶構造解析	大門 寛	奈良先端科学技術大学院大学	日本	BL25SU	12
2002A0466-NS1-np	Main grid交換による性能向上評価	大門 寛	奈良先端科学技術大学院大学	日本	BL25SU	12
2002A0468-ND1-np	イッテルビウム硼化物YbB <sub>n</sub> (n=2,6)のホウ素結合の温度変化と元素置換効果	伊賀 文俊	広島大学	日本	BL02B2	9
2002A0469-ND2-np	Ti酸化物の金属・非金属転移と電荷・格子異常	伊賀 文俊	広島大学	日本	BL10XU	12
2002A0470-CD2-np	DACを用いた高温高圧下における融体の構造解析法の開発	服部 高典	慶應義塾大学	日本	BL04B2	6
2002A0471-NL1-np	Chiba virus 由来3C-like ProteaseのX線結晶構造解析	田中 信夫	東京工業大学	日本	BL41XU	3
2002A0472-ND3-np	平面波トポグラフィを用いたシリコン結晶中微小欠陥の格子歪測定	飯田 敏	富山大学	日本	BL20B2	6
2002A0473-ND2-np	高温高圧下での鉄窒化物の反応と合成過程の解明	遊佐 斉	物質・材料研究機構	日本	BL10XU	6
2002A0474-ND1-np	立体的に混合した新規ポルフィリン三核錯体の微小結晶構造解析	高木 繁	名古屋工業大学	日本	BL04B2	6
2002A0478-NX-np	インターカレーションホストとしての集積型鉄窒化物錯体の構造解析	今西 誠之	三重大学	日本	BL01B1	3
2002A0479-ND3-np	X線磁気回折による5f電子系のスピンおよび軌道磁気モーメント	伊藤 正久	群馬大学	日本	BL39XU	15
2002A0480-ND3-np	Ca <sub>2-x</sub> Sr <sub>x</sub> RuO <sub>4</sub> の共鳴X線散乱干渉法を用いた軌道秩序の研究	久保田 正人	科学技術振興事業団	日本	BL46XU	18
2002A0482-ND1-np	カーボンナノチューブへの水素ガス吸蔵機構の解明	竹延 大志	東北大学	日本	BL02B2	6
2002A0483-ND2-np	金属フラーレン化合物における結合の性質と圧縮率	岩佐 義宏	東北大学	日本	BL04B2	6
2002A0484-ND1-np	組成のファインチューニングによるフラーレン化合物の反強磁性状態の制御	岩佐 義宏	東北大学	日本	BL02B2	3
2002A0485-ND2-np	In-situ study of phase relations and properties in the Fe-S, Fe-Si, and Fe-C binary systems at high pressure and high temperature	Li Jie	Carnegie Institution of Washington	USA	BL04B1	12
2002A0486-NM-np	Observation of the disordering of metallic microstructure at high temperatures	Youn Hwa	POSTECH, Pohang Accelerator Lab.	Korea	BL40XU	6
2002A0487-ND1-np	高エネルギーX線回折による超プロトン伝導ガラスの構造解析	石山 新太郎	日本原子力研究所	日本	BL04B2	12
2002A0489-CS2-np	強磁性金属(Fe,Ni)の高圧下MCD測定	石松 直樹	広島大学	日本	BL39XU	12
2002A0490-CDL2-np	圧力ジャンプにより誘起された高分子液体の結晶化のダイナミクスに関する研究	竹中 幹人	京都大学	日本	BL45XU	4
2002A0491-NDL2-np	高分子超格子構造のダイナミクスに関する研究	竹中 幹人	京都大学	日本	BL45XU	4
2002A0492-NS1-np	MXCDによる表面二次元合金CuMn/Cu(001)およびその関連表面の強磁性状態の検証	木村 昭夫	広島大学	日本	BL25SU	9
2002A0493-NS1-np	(Sm,Gd)Al <sub>2</sub> のSm4f電子スピン・軌道磁気モーメントの温度依存性	喬 山	広島大学	日本	BL25SU	9
2002A0497-NL1-np	LysRファミリーに属するDNA結合蛋白質CnRのX線結晶構造解析	千田 俊哉	産業技術総合研究所	日本	BL40B2	6
2002A0498-ND2-np	Mg <sub>2</sub> Si <sub>0.4</sub> スピネルとSiO <sub>2</sub> からMgSiO <sub>3</sub> イリメンイトおよびペロフスカイトへの高圧相転移カINETIXS	久保 友明	東北大学	日本	BL04B1	12
2002A0499-NMD3-np	X線多波動的な回折現象と入射X線の偏光依存性の研究	沖津 康平	東京大学	日本	BL09XU	15
2002A0500-NL2-np	低酸素状態における肺循環、気管支循環の血流分布および寄与率の解析 - マルチブルコントラストCT画像解析による検討	辻 千鶴子	東海大学	日本	BL20B2	6
2002A0501-CS2-np	高圧下XMCDによるYbNiSnの圧力誘起強磁性状態の研究	圓山 裕	広島大学	日本	BL39XU	9
2002A0502-ND3-np	X線磁気コンプトン散乱によるDyCo <sub>2</sub> B, DyCo <sub>2</sub> B <sub>2</sub> 内のスピン磁気モーメントの評価	七尾 進	東京大学	日本	BL08W	6
2002A0503-NL2-np	2色X線CTの基礎研究	取越 正己	放射線医学総合研究所	日本	BL20B2	9
2002A0504-CL1-np	Structural Determination of the Protein Crystals by the MIR-MAD methods	Liaw Shwu-Huey	National Yang-Ming University	Taiwan, ROC	BL41XU	6
2002A0505-NX-np	海棲高等動物組織に蓄積したCdおよびHgの存在形態のXAFSによる解明	中井 泉	東京理科大学	日本	BL01B1	9
2002A0506-NL1-np	新しいレクチンファミリーと高マンノース糖鎖複合体の結晶構造	片柳 克夫	広島大学	日本	BL40B2	6
2002A0507-ND1-np	鉄窒化物 “相”の生成条件と安定性	大庭 卓也	島根大学	日本	BL02B2	6
2002A0509-CL1-np	トロポニン・トロポミオシン複合体のX線結晶構造解析	武田 壮一	理化学研究所	日本	BL41XU	3
2002A0510-NS2-np	蛍光X線ホログラフィーによるSiGeウエハの構造評価	林 好一	東北大学	日本	BL47XU	15
2002A0513-NMD3-np	水晶を用いたブラッグ角90°におけるX線動力学的回折の測定	今井 康彦	高輝度光科学研究センター	日本	BL09XU	15
2002A0514-CD2-np	高温における2価金属液体の構造とゆらぎ	武田 信一	九州大学	日本	BL28B2	9
2002A0515-CD2-np	高温における液体ゲルマニウムの構造	川北 至信	九州大学	日本	BL04B2	9
2002A0516-NS2-np	フラーレン希土類金属化合物Eu <sub>6</sub> C <sub>80</sub> のEu-L3吸収端でのX線磁気円二色性	石井 賢司	日本原子力研究所	日本	BL39XU	12
2002A0519-NDM-np	高エネルギー単色X線用マイクロピンホールによる微小領域回折法の開発	萩谷 健治	姫路工業大学	日本	BL47XU	9



課題番号	課 題 名	実験責任者	所 属	国 名	B L	7/8数
2002A0520-ND3-np	Inelastic X-ray Scattering of High Temperature Cuprate Superconductors	筒井 智嗣	財高輝度光科学研究センター	日本	BL35XU	12
2002A0521-NX-np	Si及びGeクラスレート中6Cサイト原子の価数	廣沢 一郎	財高輝度光科学研究センター	日本	BL38B1	3
2002A0522-ND3-np	SnI4の高圧下核共鳴前方散乱実験	山田 高広	産業技術総合研究所(申請時JASRI)	日本	BL11XU	12
2002A0523-ND3-np	ラウエトポグラフィ法によるタンパク質結晶の欠陥の観察	橋 勝	横浜市立大学	日本	BL28B2	6
2002A0524-CS2-np	極端条件下におけるXMCDによる重い電子系CeRu <sub>2</sub> Si <sub>2</sub> のメタ磁性の研究	本間 徹生	財高輝度光科学研究センター	日本	BL39XU	12
2002A0525-ND1-np	金属-非金属相転移を示すPrRu <sub>4</sub> P <sub>12</sub> の構造相転移の観測	本間 徹生	財高輝度光科学研究センター	日本	BL02B2	3
2002A0527-ND1-np	AZnPO <sub>4</sub> (A:アルカリ金属)における逐次構造相転移の研究	川路 均	東京工業大学	日本	BL02B2	6
2002A0528-ND2-np	下部マントル最下部までのMORBの相転移X線その場観察	一色 麻衣子	財高輝度光科学研究センター	日本	BL10XU	1
2002A0529-ND2-np	(Mg <sub>0.9</sub> Fe <sub>0.1</sub> ) <sub>2</sub> SiO <sub>4</sub> の下部マントル条件下における高温高圧相転移	一色 麻衣子	財高輝度光科学研究センター	日本	BL10XU	6
2002A0530-ND1-np	高エネルギーX線によるシリカガラスの高温回折測定	小原 真司	財高輝度光科学研究センター	日本	BL04B2	11
2002A0531-NS1-np	NEXAFS分光法による3d遷移金属を含むワウロシアン化合物の空準位電子構造の研究	岡島 敏浩	財高輝度光科学研究センター	日本	BL23SU	3
2002A0532-ND1-np	銀四核錯体の光励起単結晶X線構造解析	小澤 芳樹	姫路工業大学	日本	BL02B1	10
2002A0533-NS1-np	内殻励起アセチレンにおける分子内水素原子移行-フェムト秒化学の新分野確立を目指して	小谷野 猪之助	姫路工業大学	日本	BL27SU	9
2002A0534-NM-np	深さ方向の解析可能なスペクトロスコピック散乱トポグラフィの開発	梶原 堅太郎	財高輝度光科学研究センター	日本	BL28B2	15
2002A0535-CD2-np	固体重水素低温・高圧相のX線回折	川村 春樹	姫路工業大学	日本	BL10XU	9
2002A0536-ND2-np	X線回折実験による高圧下のレニウム水素化物の生成の研究	川村 春樹	姫路工業大学	日本	BL10XU	3
2002A0537-ND3-np	傾斜濃度単結晶La <sub>2-x</sub> Sr <sub>x</sub> CuO <sub>4</sub> を用いたX線非弾性散乱による動的電子相分離の研究	水木 純一郎	日本原子力研究所	日本	BL35XU	15
2002A0538-ND3-np	核共鳴非弾性散乱によるミオグロビンのガラス転移の研究	原見 太幹	日本原子力研究所	日本	BL11XU	9
2002A0539-ND3-np	コンプトン散乱を用いたSr <sub>2</sub> FeMoO <sub>6</sub> のフェルミ面の研究	平岡 望	財高輝度光科学研究センター	日本	BL08W	18
2002A0540-ND3-np	円偏光反転磁気コンプトン散乱法	櫻井 吉晴	財高輝度光科学研究センター	日本	BL08W	6
2002A0541-NS2-np	XMCDによる元素選択的磁化測定を用いた希土類合金のNon-Collinear磁気構造解析	中村 哲也	東京大学	日本	BL39XU	12
2002A0542-CS2-np	シンクロトロン放射光による微細塗膜片の成分分析	二宮 利男	兵庫県警察本部	日本	BL08W	9
2002A0543-NL2-np	高輝度放射光による微小領域X線回折	岩本 裕之	財高輝度光科学研究センター	日本	BL40XU	6
2002A0544-NL2-np	小型筋細胞・細胞骨格の微小領域回折と光学顕微鏡同時観察	岩本 裕之	財高輝度光科学研究センター	日本	BL45XU	2
2002A0545-NL2-np	金属クラスターラベルしたミオシン頭部-アクチン複合体の構造変化のX線解析	岩本 裕之	財高輝度光科学研究センター	日本	BL45XU	4
2002A0546-ND1-np	導電性一次元八角ゲン架橋複核白金錯体Pt <sub>2</sub> (n-PrCS <sub>2</sub> ) <sub>4</sub> の六倍周期構造の結晶構造解析	満身 稔	姫路工業大学	日本	BL02B1	6
2002A0548-NX-np	エネルギー分散型XAFS計測装置の立ち上げ調整と性能評価	宇留賀 朋哉	財高輝度光科学研究センター	日本	BL28B2	18
2002A0549-NS1-np	軟X線吸収MCDによるSm化合物のSm-4f電子の電子および磁気状態に関する研究	水牧 仁一朗	財高輝度光科学研究センター	日本	BL23SU	11
2002A0550-NS1-np	軟X線吸収MCDによるR(=rare earth)Co <sub>3</sub> B <sub>2</sub> のR4f電子およびCo3dの電子状態に関する研究	水牧 仁一朗	財高輝度光科学研究センター	日本	BL25SU	9
2002A0551-NL2-np	コントラスト変調法による骨格筋線維のX線回折像の解析	若山 純一	財高輝度光科学研究センター	日本	BL45XU	2
2002A0552-NL2-np	ケージ化合物光分解にともなう筋収縮蛋白構造変化の超高速時分割X線回折	若山 純一	財高輝度光科学研究センター	日本	BL40XU	21
2002A0553-CD2-np	SiO <sub>2</sub> ガラスの構造の温度および圧力依存性	稲村 泰弘	日本原子力研究所	日本	BL04B1	12
2002A0554-NX-np	高分解能XANESスペクトルによる金属タンパク質の構造解析	菊地 晶裕	理化学研究所	日本	BL01B1	12
2002A0555-NL2-np	非イオン性界面活性剤/水/オクタン系の構造の温度・圧力依存性	瀬戸 秀紀	広島大学	日本	BL40B2	6
2002A0556-NL2-np	高フラックス擬似単色X線を利用した蛋白質結晶の時間分解回折測定	足立 伸一	理化学研究所	日本	BL40XU	12
2002A0558-NS1-np	超音速O <sub>2</sub> 分子線によるエルビウム蒸着膜の酸化過程のin situ光電子分光	松井 真二	姫路工業大学	日本	BL23SU	6
2002A0559-NMD3-np	Continued Commissioning of BL35XU-II	Baron Alfred	JASRI	日本	BL35XU	72
2002A0560-ND3-np	Dynamics of Phosphate Glasses	Burkel Eberhard	University Rostock	Germany	BL35XU	21
2002A0561-ND3-np	Experiment on Superconducting Energy Gap on MgB <sub>2</sub>	田中 良和	理化学研究所	日本	BL35XU	12
2002A0562-ND3-np	Inelastic Scattering Experiment on LaMnO <sub>3</sub>	田中 良和	理化学研究所	日本	BL35XU	12
2002A0565-ND3-np	Magnetic Compton profile measurement to study the eg orbitals in Manganite Nd <sub>1-x</sub> Sr <sub>x</sub> MnO <sub>3</sub>	Deb Aniruddha	JASRI	Japan	BL08W	12
2002A0566-NL2-np	放射光単色X線超高分解能CTを用いたヒト肺末梢気道air-flowモデルの作成とその生理学的意義の検討	池添 潤平	愛媛大学	日本	BL20B2	3
2002A0567-NS2-np	重い電子様3d電子系LiV <sub>2</sub> O <sub>4</sub> の局在スピンモーメントのXMCDによる測定	鈴木 基寛	財高輝度光科学研究センター	日本	BL39XU	9
2002A0568-ND1-np	La <sub>0.8</sub> Sr <sub>0.2</sub> MnO <sub>3</sub> 薄膜の精密結晶構造解析II	大隅 寛幸	財高輝度光科学研究センター	日本	BL02B1	15
2002A0570-ND1-np	Ce(Fe,Co)金属間化合物の精密電子密度解析	久保田 佳基	大阪女子大学	日本	BL02B2	6
2002A0571-ND3-np	非弾性核共鳴散乱によるヨウ素129化合物のフォノン状態密度	北尾 真司	京都大学	日本	BL09XU	18
2002A0572-ND2-np	Cd-Yb合金系2元系準結晶の高温での圧力誘起構造相転移の探索	綿貫 徹	日本原子力研究所	日本	BL10XU	12
2002A0573-NS2-np	X線磁気円二色性によるCo-Al-Oグラニューア薄膜中Co微粒子のスピン偏極状態の研究	福田 竜生	日本原子力研究所	日本	BL39XU	9
2002A0574-NM-np	走査型X線位相顕微鏡の開発及び応用研究	高野 秀和	財高輝度光科学研究センター	日本	BL20XU	18
2002A0575-NM-np	波長分散型高エネルギー蛍光X線分析装置の開発及び評価	伊藤 真義	財高輝度光科学研究センター	日本	BL08W	8
2002A0576-ND3-np	シリコンクラスレートBa <sub>8</sub> Si <sub>46</sub> の高分解能コンプトン・プロファイル測定	伊藤 真義	財高輝度光科学研究センター	日本	BL08W	18
2002A0577-NM-np	内部参照光源を用いたフーリエ変換X線ホログラフィー顕微鏡の開発	渡辺 紀生	筑波大学	日本	BL20XU	30
2002A0578-NL2-np	ヒ素中毒患者生検試料の放射光蛍光X線分析	寺田 靖子	財高輝度光科学研究センター	日本	BL39XU	9
2002A0579-NS2-np	高速蛍光X線イメージングによるワムシの生活史の研究	寺田 靖子	財高輝度光科学研究センター	日本	BL40XU	9
2002A0580-NL1-np	高エネルギーX線によるMAD法データ収集における最適波長選択	三木 邦夫	京都大学	日本	BL41XU	9
2002A0581-NL1-np	過酸化ストレス応答タンパク質SoxRの活性ドメインのX線結晶構造解析	喜田 昭子	京都大学	日本	BL41XU	6
2002A0582-ND1-np	量子強誘電体STO18の構造相転移に関する研究	武末 尚久	東京大学	日本	BL46XU	24

課題番号	課題名	実験責任者	所属	国名	B L	7/8数
2002A0584-ND1-np	LiMn <sub>2</sub> O <sub>4</sub> の電荷・スピン秩序状態	留野 泉	東芝研究開発センター	日本	BL02B2	6
2002A0587-NL2-np	宇宙空間での骨カシウムへの影響：地上での再現テスト実験とその観察	山崎 克人	財高輝度光科学研究センター	日本	BL28B2	3
2002A0589-NS1-np	軟X線によるNi(110)の角度分解光電子分光	鎌倉 望	理化学研究所	日本	BL27SU	9
2002A0590-CS1-np	全反射条件下での軟X線共鳴光電子・発光分光法による金属表面吸着系の電子状態研究	高田 恭孝	理化学研究所	日本	BL27SU	12
2002A0593-ND1-np	Li <sub>x</sub> C <sub>60</sub> のX線回折	小林 本忠	姫路工業大学	日本	BL02B2	6
2002A0595-CL2-np	BL40XUIにおける溶液X線小角散乱測定用光学系の立ち上げ	井上 勝晶	財高輝度光科学研究センター	日本	BL40XU	15
2002A0596-NL2-np	X線溶液散乱法を用いた蛋白質分子構造予測の試み	井上 勝晶	財高輝度光科学研究センター	日本	BL40B2	24
2002A0599-ND1-np	ペロブスカイト型および関連構造を持つFe酸化物の電荷分離状態における構造解析	森本 正太郎	大阪大学	日本	BL02B2	3
2002A0600-ND1-np	超高真空中における1次元量子構造のX線定在波法による構造解析	齋藤 彰	大阪大学	日本	BL13XU	36
2002A0601-NS1-np	ハイブリック軟X線発光分光装置を用いた化学系IIマンガンクラスターのMn2p励起発光分光	原田 慈久	理化学研究所	日本	BL27SU	9
2002A0602-CL2-np	蛋白質微結晶を用いた粉末X線回折データの応用研究	三浦 圭子	財高輝度光科学研究センター	日本	BL40B2	6
2002A0603-NL2-np	Hinge bending motion of OppA protein in solution studied by solution X-ray scattering technique	Tame Jeremy	Yokohama City University	日本	BL45XU	1
2002A0604-NL2-np	糖鎖集合体が形成するナノメータスケールの超分子集合体に関する構造学的及び動力学的研究	櫻井 和朗	北九州市立大学	日本	BL40B2	12
2002A0605-ND2-np	Post-stishovite phases of SiO <sub>2</sub> at ultrahigh pressures and temperatures	Duffy Thomas	Princeton University	USA	BL10XU	12
2002A0606-NL2-np	ホヤ幼生のサブミクロン分解能の蛍光X線強度分布測定(生体内金属と機能との関連の研究)	津田 基之	姫路工業大学	日本	BL47XU	6
2002A0607-NM-np	Zernike型位相差X線顕微鏡による位相決定法についての基礎実験	香村 芳樹	理化学研究所	日本	BL20XU	18
2002A0609-NS1-np	屈曲3原子分子の形状共鳴における振電相互作用：3次元イメージング法による空間固定分子からの光電子の角度分布測定法による	齋藤 則生	産業技術総合研究所	日本	BL27SU	18
2002A0612-ND3-np	局所応力マッピングによるセラミックスの破壊挙動の解明	坂井田 喜久	静岡大学	日本	BL09XU	12
2002A0613-NX-np	遷移金属酸化物含有ゼオライト薄膜光触媒のin-situ XAFS測定	山下 弘巳	大阪府立大学	日本	BL01B1	6
2002A0614-ND1-np	Nd <sub>2-x</sub> Ce <sub>x</sub> CuO <sub>4</sub> 薄膜のX線回折による構造解析	山口 博隆	産業技術総合研究所	日本	BL02B1	12
2002A0615-ND1-np	単結晶X線回折測定による白金二核錯体の光励起構造の解析	植草 秀裕	東京工業大学	日本	BL04B2	6
2002A0617-NL2-np	延伸ゲルの緩和過程の研究	杉山 正明	九州大学	日本	BL45XU	2
2002A0619-ND3-np	Spin polarised electron momentum distribution in the rare-earth 2-sublattice ferrimagnet Gd <sub>1-x</sub> La <sub>x</sub> Mn <sub>2</sub> Ge <sub>2</sub> (x=0.06, 0.09) in the ferri-1, ferri-2, and anti-ferromagnetic phases	Duffy Jonathan	University of Warwick	United Kingdom	BL08W	16
2002A0620-ND3-np	Measurement of spin polarised electron momentum distribution in the ferromagnetic hexaboride Ca <sub>1-x</sub> La <sub>x</sub> B <sub>6</sub> : A material that can be considered a low density electron gas	Duffy Jonathan	University of Warwick	United Kingdom	BL08W	15
2002A0621-NDS2-np	Measurement of the temperature dependence of the orbital and spin form factors in Sm <sub>1-x</sub> Gd <sub>x</sub> A <sub>12</sub> : A Laves phase compound exhibiting a spin-orbital compensation point	Duffy Jonathan	University of Warwick	United Kingdom	BL39XU	12
2002A0622-NDL1-np	Structural determination of several macromolecules	Wang Andrew	APCST/Academia Sinica	Taiwan, R.O.C.	BL41XU	6
2002A0624-NM-np	放射光による電子材料のエッチング	奥山 雅則	大阪大学	日本	BL27SU	16
2002A0627-ND3-np	非弾性核共鳴散乱に強四極子秩序DyB6化合物の研究	小林 寿夫	姫路工業大学(申請時 東北大)	日本	BL35XU	12
2002A0629-ND2-np	Structural study of HTSC compound Hg <sub>0.8</sub> Tl <sub>0.2</sub> Ba <sub>2</sub> Ca <sub>2</sub> Cu <sub>3</sub> O <sub>10</sub> under high pressure and low temperature	Titova Svetlana	Institute of Metallurgy,	Russia	BL10XU	6
2002A0631-ND2-np	水素化ホウ素の圧力誘起相転移に関するX線回折実験	中野 智志	物質・材料研究機構物質研究所	日本	BL10XU	6
2002A0632-ND1-np	強誘電性相転移にともなうチタン酸カドミウムの構造変化	井本 英夫	宇都宮大学	日本	BL02B1	6
2002A0633-CL2-np	Ca <sup>2+</sup> 結合タンパク質spasminの放射光X線小角散乱	浅井 博	早稲田大学	日本	BL45XU	1
2002A0634-NM-np	キャピラリープレートを用いた宇宙X線偏光度検出器の開発	門叶 冬樹	山形大学	日本	BL38B1	12
2002A0635-ND1-np	BiMnO <sub>3</sub> 及びBiNiO <sub>3</sub> の精密構造解析	東 正樹	京都大学	日本	BL02B2	6
2002A0636-ND2-np	BiMnO <sub>3</sub> 、Bi <sub>2</sub> Fe <sub>3</sub> O <sub>12</sub> の高圧下生成および結晶成長その場観察	東 正樹	京都大学	日本	BL14B1	12
2002A0637-ND1-np	Bi <sub>2</sub> Sr <sub>2</sub> Ca <sub>n-1</sub> Cu <sub>n</sub> O <sub>x</sub> ウィスカ及び単結晶の構造解析	岸田 悟	鳥取大学	日本	BL02B1	12
2002A0638-ND1-np	ガスデポジション法により作製したナノ結晶材料の構造解析	喜多 英治	筑波大学	日本	BL02B1	12
2002A0639-NM-np	軟X線回折格子型分光器の性能向上のための調整	石黒 英治	琉球大学	日本	BL27SU	18
2002A0640-NM-np	高集光光学系の評価と電子材料の加工	石黒 英治	琉球大学	日本	BL27SU	12
2002A0642-ND2-np	ヘリウム静水圧下におけるSnI <sub>4</sub> の結晶構造解析	佐藤 恭子	JST(物質・材料研究機構物質研究所)	日本	BL04B2	6
2002A0644-NI-np	InGa <sub>n</sub> 薄膜のXAFSによる局所構造解析	工藤 喜弘	ソニー(株)	日本	BL19B2	4
2002A0645-NX1-np	充放電状態におけるリチウム二次電池用Ni及びFe添加マンガンスピネル正極材料中の遷移金属の化学状態に関する研究	蔭山 博之	産業技術総合研究所	日本	BL19B2	3
2002A0647-NI-np	高エネルギー放射光蛍光X線分析法による蛍石中の微量元素の分析	野間 敬	キヤノン(株)	日本	BL19B2	2
2002A0649-NI-np	X線回折/偏光解消(HV)光散乱同時測定による相分離したポリマープレンド中での球晶成長の研究	櫻井 伸一	京都工芸繊維大学	日本	BL19B2	6
2002A0650-NI-np	セラミック被膜及びセラミック基盤中の残留応力の深さ方向プロファイル	梯 伸一郎	三菱マテリアル(株)	日本	BL19B2	6
2002A0651-NI-np	高速相変化型光記録材料GeTe-Sb <sub>2</sub> Te <sub>3</sub> 擬二元系化合物のXAFSによる研究	松永 利之	(株)松下テクノロジー	日本	BL19B2	6
2002A0655-NI-np	鉄鋼中におけるBi元素の存在形態観察	難波 英一	新日本製鐵(株)	日本	BL19B2	3
2002A0656-NI-np	亜鉛めっき鋼板の耐食性に及ぼすめっき合金元素の影響解明	林 公隆	新日本製鐵(株)	日本	BL19B2	3
2002A0658-NI-np	合金化熔融亜鉛めっき鋼板の合金化反応過程のin-situ観察	谷山 明	住友金属工業(株)	日本	BL19B2	9
2002A0659-NI-np	熔融亜鉛めっきの合金化過程におけるFe-Zn金属間化合物の結晶配向性調査	谷山 明	住友金属工業(株)	日本	BL19B2	6
2002A0660-NI-np	産業利用BL大型デバイセラーカメラの立ち上げ・調整	本間 徹生	財高輝度光科学研究センター	日本	BL19B2	45
2002A0661-NI-np	セルロース繊維の構造解析	本間 徹生	財高輝度光科学研究センター	日本	BL19B2	2

課題番号	課題名	実験責任者	所属	国名	BL	7/8数
2002A0662-NI-np	放射光X線回折法による溶融金属の物性測定手法の開発	村井 健介	産業技術総合研究所	日本	BL19B2	3
2002A0663-NI-np	ゴム加硫における酸化亜鉛および加硫促進剤の錯形成解析	岸本 浩通	住友ゴム工業(株)	日本	BL19B2	3
2002A0664-NI-np	XAFSによる蛍光体の輝度劣化機構の検討	廣沢 一郎	①高輝度光科学研究センター	日本	BL19B2	3
2002A0665-NI-np	粉末X線回折による高誘電体酸化物の酸素定量	本間 徹生	①高輝度光科学研究センター	日本	BL19B2	9
2002A0666-NI-np	高分解能X線回折法による酸化イリジウム酸化タンタル系アノード電極の構造解析	石原 嗣生	兵庫県立工業技術センター	日本	BL19B2	2
2002A0667-NI-np	産業利用多軸回折装置の立ち上げ・調整	佐藤 真直	①高輝度光科学研究センター	日本	BL19B2	15
2002A0668-NI-np	産業用ビームラインBL19B2におけるX線反射率測定システムの立ち上げ	岡島 敏浩	①高輝度光科学研究センター	日本	BL19B2	6
2002A0669-NI-np	XAFSによる高誘電体酸化物の酸素の定量	岡島 敏浩	①高輝度光科学研究センター	日本	BL19B2	12
2002A0670-NI-np	屈折コントラストによる各種材料の構造観察	梶原 堅太郎	①高輝度光科学研究センター	日本	BL19B2	9
2002A0671-NI-np	XAFSによる燃料電池電極触媒の局所構造に関する研究	池本 夕佳	①高輝度光科学研究センター	日本	BL19B2	3
2002A0672-NI-np	中国および日本産の青銅器の蛍光分析	外山 潔	①泉屋博古館	日本	BL19B2	6
2002A0673-NI-np	XAFS測定のためのナノ細孔空間内の希ガス反応セルの開発	米村 光治	住友金属工業(株)	日本	BL19B2	3
2002A0677-NI-np	X線異常散乱とRietveld法によるペロブスカイト並びにブロンズタイプ複合金属酸化物の構造解析	山下 誠一	旭化成(株)	日本	BL19B2	3
2002A0678-NI-np	廃棄物処理で得られた溶融スラグ中PbのXAFS分析	中川 茂友	川崎重工業(株)	日本	BL19B2	2
2002A0679-NI-np	部分安定化ジルコニア遮熱被覆層の基材界面近傍応力の測定	中川 茂友	川崎重工業(株)	日本	BL19B2	6
2002A0680-NI-np	in-situ XAFSセルを用いた電解液中の金属イオンの構造解析I	脇田 久伸	福岡大学	日本	BL19B2	3
2002A0682-NI-np	クラスターイオンビーム法で表面処理をした材料のX線反射率特性分析及び結晶ひずみの測定	古白川 信孝	①イオン工学研究所	日本	BL19B2	3
2002A0683-NI-np	ポリマーセメントにおける結晶構造解析	田村 久幸	①大関化学研究所	日本	BL19B2	3
2002A0685-NI-np	相変化高密度光記録層(AgInSbTe)の配向微結晶の構造解析	谷 克彦	①リコー	日本	BL19B2	3
2002A0687-NI-np	可視光応答型酸化チタン光触媒のin-situ XAFS測定	安保 正一	大阪府立大学	日本	BL19B2	3
2002A0688-NI-np	シンクロトロン光を用いた固体酸化物形燃料電池セル(3層)の残留応力測定	矢加部 久孝	東京ガス(株)	日本	BL19B2	6
2002A0690-US-p	シンクロトロン放射光による微量元素分析	二宮 利男	兵庫県警察本部	日本	BL08W	3
2002A0691-UL-p	創薬研究のための結晶構造解析	伊藤 晋	中外製薬(株)	日本	BL40B2	1
2002A0692-UX-p	セラミックス系複合材料(CMC)用強化繊維(セラミックス繊維)のXAFS分析	井頭 賢一郎	川崎重工業(株)	日本	BL01B1	2
2002A0693-RL1-np	GTPCHIフィードバック制御蛋白質の結晶構造解析	岡田 健吾	奈良先端科学技術大学院大学	日本	BL41XU	3
2002A0694-RL1-np	ERM蛋白質radixinとNa <sup>+</sup> /H <sup>+</sup> 交換体制御蛋白質の複合体(FERM-NHE-RF)での結晶構造解析	岡田 健吾	奈良先端科学技術大学院大学	日本	BL41XU	3
2002A0695-RL1-np	Thermus thermophilus HB8 株由来 Peptide deformylaseのX線結晶構造解析	田之倉 優	東京大学	日本	BL41XU	3
2002A0696-US-p	シンクロトロン放射光による微量元素分析	鈴木 康弘	警察庁科学警察研究所	日本	BL39XU	3
2002A0697-US-p	シンクロトロン放射光による微量元素分析	鈴木 康弘	警察庁科学警察研究所	日本	BL08W	3
2002A0698-RL1-np	サイトカインLECT2のX線結晶構造解析	田之倉 優	東京大学	日本	BL41XU	3
2002A0699-RL1-np	ヘムオキシゲナーゼとヘム反応中間体及びシアンとの複合体のX線結晶構造解析	福山 恵一	大阪大学	日本	BL41XU	3
2002A0700-RI-np	放射光X線回折法による溶融金属の物性測定手法の開発	村井 健介	産業技術総合研究所	日本	BL19B2	3
2002A0703-RL1-np	産業利用を目指した超耐熱性酵素の結晶構造解析	石川 一彦	産業技術総合研究所	日本	BL38B1	3
2002A0705-RI-np	固体酸化物形燃料電池セル電解質部分の深さ方向応力分布測定	矢加部 久孝	東京ガス(株)	日本	BL19B2	6
2002A0711-RI-np	伸線パーライト鋼線中のセメントタイト結晶の微細構造解析	谷山 明	住友金属工業(株)	日本	BL19B2	3
2002A0713-RI-np	セラミックス被膜及び基板中の残留応力の深さ方向プロファイル	土屋 新	三菱マテリアル(株)	日本	BL19B2	6
2002A0716-RI-np	ポリマーセメントの水和過程における結晶構造解析	田村 久幸	①大関化学研究所	日本	BL19B2	3
2002A0721-UI-p	屈折コントラストによるファイバー観察	岸本 浩通	住友ゴム工業(株)	日本	BL19B2	1
2002A0723-UL1-p	ヒト由来酵素のX線結晶構造解析	辻 英一	キッセイ薬品工業(株)	日本	BL41XU	1
2002A0724-RL1-np	The structure determination of Sac7d/DNA complex and RD1 mutants	Wang Andrew	APCST/Academia Sinica	Taiwan, R.O.C.	BL41XU	6
2002A0725-UL1-p	創薬研究のための結晶構造解析	伊藤 晋	中外製薬(株)	日本	BL40B2	2
2002A0726-UL1-p	創薬研究のための結晶構造解析	伊藤 晋	中外製薬(株)	日本	BL38B1	1
2002A0727-RL1-np	生殖細胞の分化に働くVasaのRNA HelicaseドメインとRNAとの複合体のX線結晶構造解析	濡木 理	東京大学	日本	BL41XU	3
2002A0728-RL2-np	X線繊維回折法を用いたプリオンタンパク質Sup35の形成するアミロイド繊維の構造解析	長谷川 和也	科学技術振興事業団	日本	BL40B2	6
2002A0729-US2-p	シンクロトロン放射光による微量元素分析	二宮 利男	兵庫県警察本部	日本	BL37XU	5
2002A0730-UM-p	燃料電池セルの屈折イメージング観察の試み	広瀬 美治	①豊田中央研究所	日本	BL19B2	1
2002A0731-UX-p	相変化光記録材料の局所構造の解析	岩田 周行	①リコー	日本	BL01B1	1
2002A0733-RL1-np	-シヌクレインのX線結晶構造解析	千田 俊哉	産業技術総合研究所	日本	BL41XU	3
2002A0734-RL1-np	ADP結合型ジオールデヒドラターゼ再活性化因子の結晶構造解析	虎谷 哲夫	岡山大学	日本	BL41XU	1
2002A0736-RL1-np	高度高熱菌由来thiosulfate sulfutransferaseのX線結晶構造解析	角田 佳充	九州大学	日本	BL41XU	2
2002A0737-RL1-np	酸化的蛋白質折り畳みに関する細胞因子の構造学的研究	岡田 健吾	奈良先端科学技術大学院大学	日本	BL41XU	1
2002A0739-RL1-np	新しいレクチンファミリーと高マンノース糖鎖複合体の結晶構造	片柳 克夫	広島大学	日本	BL38B1	3
2002A0740-RL2-np	X線溶液散乱法を用いた蛋白質分子の構造予測の試み	井上 勝晶	①高輝度光科学研究センター	日本	BL40B2	3
2002A0741-RL1-np	AzoR(Azo Reductase)のX線結晶構造解析	田之倉 優	東京大学	日本	BL41XU	2
2002A0742-RL1-np	高度高熱菌由来ATPスルフィラーゼのX線結晶構造解析	角田 佳充	九州大学	日本	BL38B1	3
2002A0743-RL2-np	高分子核生成“誘導期”における核生成の直接的証明-過冷却依存性による検証	彦坂 正道	広島大学	日本	BL40B2	3